

МИНИСТЕРСТВО МОРСКОГО ФЛОТА СССР  
СОЮЗМОРНИИПРОЕКТ  
Бакинский филиал КАСПМОРНИИПРОЕКТ

ЗАМЕНЕН С 01.04.88г на РД 31.31.45-87

(Ч-8)

СОНОДАНИЕ Дополнение к Рассоряженному  
помимоизданию от 17.12.87 N 46  
офиц., номер стр., дата) *Госстандарт*

**РУКОВОДЯЩИЙ  
ТЕХНИЧЕСКИЙ МАТЕРИАЛ**

Руководство по определению горизонтальных  
нагрузок на причальные сооружения при  
швартовке к ним паромов

РТМ 31.3011-77

г. Баку-1977

СССР  
РУКОВОДЯЩИЙ ТЕХНИЧЕСКИЙ МАТЕРИАЛ

РУКОВОДСТВО ПО ОПРЕДЕЛЕНИЮ ГОРИЗОНТАЛЬНЫХ НАГРУЗОК  
НА ПРИЧАЛЬНЫЕ СООРУЖЕНИЯ ПРИ ПАРТОВКЕ К НИМ ПАРОМОВ

РТМ ЗІ.3011-77

Москва, СМНЭИП, 1977 г.



УТВЕРЖДАЮ

Главный инженер Союзморниипроекта

*Б. А. Григорьев*

"12" июля 1977 г.

РУКОВОДЯЩИЙ ТЕХНИЧЕСКИЙ МАТЕРИАЛ

РУКОВОДСТВО ПО ОПРЕДЕЛЕНИЮ ГОРИЗОНТАЛЬНЫХ НАГРУЗОК  
НА ПРИЧАЛЬНЫЕ СООРУЖЕНИЯ ПРИ ШВАРТОВКЕ К НИМ ПАРОМОВ

РТМ 31.3011 -77

Главный инженер  
Каспморниипроекта

*Б. А. Григорьев*

"01" августа 1977 г.

Москва, СМНИИП, 1977 г.

РУКОВОДСТВО ПО ОПРЕДЕЛЕНИЮ

ГИРЗОНТАЛЬНЫХ НАГРУЗОК НА  
ПРИЧАЛЬНЫЕ СООРУЖЕНИЯ ПРИ  
ШВАРТОВКЕ К НИМ ПАРОМОВ

РТИ ЗІ.3011-77

Вводится впервые

---

Приказом Союзморниипроекта от 12.07 1977 г.

№ 191 введен для опытного применения с I января 1978 г.

Настоящий РТИ предназначен для расчетов горизонтальных нагрузок на причальные сооружения от морских паромов при швартовке, а также для определения при этом расчетных усилий в элементах отбойных устройств этих сооружений.

Действие РТИ распространяется на причальные сооружения, оборудованные отбойными устройствами, в конструкцию которых могут входить резиновые элементы как трубчатого, так и трапецидального сечений.

РТИ обязателен для применения в Союзморниипроекте и его филиалах.

## I. Общие положения

- I.1. Настоящее руководство регламентирует расчеты горизонтальных нагрузок на причальные сооружения при швартовке к ним морских железнодорожных и автомобильных паромов, именуемых в дальнейшем просто "паромами".
- I.2. Расчеты горизонтальных нагрузок на причальные сооружения при швартовке к ним паромов следует осуществлять в соответствии с СНиП П-57-75 "Нагрузки и воздействия на гидротехнические сооружения (волновые, ледовые и от судов)" и рекомендациями настоящего руководства.

I.3. Горизонтальные нагрузки при швартовке паромов входят в основные сочетания нагрузок.

I.4. Части корпуса парома и сооружения, участвующие в поглощении кинетической энергии движущегося парома, называются соединениями.

I.5. Точка контакта корпуса парома с конструкциями причального сооружения в период взаимодействия представляет единую комплексную связь соединений.

I.6. Соединения подразделяются на линейноподатливые и нелинейноподатливые.

К линейноподатливым относятся соединения, деформации которых линейно зависят от приложенной к ним силы (закон Гука).

Соединения, деформации которых зависят нелинейно от приложенной силы, называются нелинейноподатливыми.

## 2. Рекомендации по расчетам

**2.1.** Горизонтальная нагрузка от навала паромов при швартовке к причальным сооружениям определяется в зависимости от кинетической энергии парома на подходах к причальным сооружениям и жесткости единой комплексной связи соединений.

**2.2.** Различаются 2 этапа швартовки парома к причальным сооружениям:

- подход к кордону под углом;
- заход в ложе.

**2.3.** Кинетическую энергию навала парома  $E_H$ ,  $\text{тс}\cdot\text{м}$ , при подходе его к сооружениям причала следует определять по формуле:

$$E_H = \gamma \frac{\mathcal{D}_c v^2}{2g}, \quad (I)$$

где  $\mathcal{D}_c$  – расчетное водоизмещение парома, ;

$v$  – нормальная (к поверхности сооружения) составляющая скорости подхода парома,  $\text{м}/\text{с}$ , принимаемая:

- для подхода к кордону под углом – по таблице 22 СНиП II-57-75;
- для захода в ложе – по таблице I.

Таблица I

Расчетное водоизмещение парома $\mathcal{D}_c$ , тыс.т	до 2	5	10	20	40	100	100 и более
Скорость $v$ $\text{м}/\text{с}$	0,80	0,65	0,50	0,20	0,15	0,10	0,05

$y$  - коэффициент, принимаемый по таблице 2.

Таблица 2

Этап швартовки и конструкция причального сооружения	Коэффициент $y$
Подход под углом к кордону:	
- набережных из обычных или фасонных массивов, массивов-гигантов, оболочек большого диаметра и набережных уголкового типа: бульверков, набережных на свайных опорах с передним шпунтом	0,8
- набережных эстакадного или мостового типа, набережных на свайных опорах с задним шпунтом	0,9
- пирсов эстакадного или мостового типа	1,05
Заход в ложе	1,1

2.4. Жесткость единой комплексной связи зависит от жесткости соединений, их количества и характера сочетаний.

2.5. Для линейноподатливых соединений зависимость между нагрузкой  $H_{xi, \tau c}$ , и деформацией  $\Delta_i, M$ , принимается по закону Гука:

$$H_{xi} = \kappa_i \Delta_i, \quad (2)$$

где  $i$  - номер соединения;

$\kappa_i$  – коэффициент жесткости  $i$ -го соединения в горизонтальном поперечном направлении,  $\text{TC/M}$ .

2.6. Для нелинейноподатливых (например, резиновых) соединений зависимость между нагрузкой  $H_{xp}$ ,  $\text{TC}$ , и деформацией  $\Delta_p$ ,  $M$ , принимается по формуле:

$$H_{xp} = \kappa_p \Delta_p^n, \quad (3)$$

где  $\kappa_p$  и  $n$  – функциональные коэффициенты.

Для соединений, состоящих из резиновых элементов, коэффициенты  $\kappa_p$  и  $n$  принимаются по таблице 3.

2.7. Сочетания соединений подразделяются на последовательные, параллельные и комбинированные (рис. I).

2.8. Для последовательного сочетания  $Z$  линейноподатливых соединений коэффициент жесткости определяется по формуле:

$$\kappa = \frac{1}{\sum_{i=1}^Z \frac{1}{\kappa_i}} \quad (4)$$

2.9. Для параллельного сочетания  $Z$  линейноподатливых соединений коэффициент жесткости определяется по формуле:

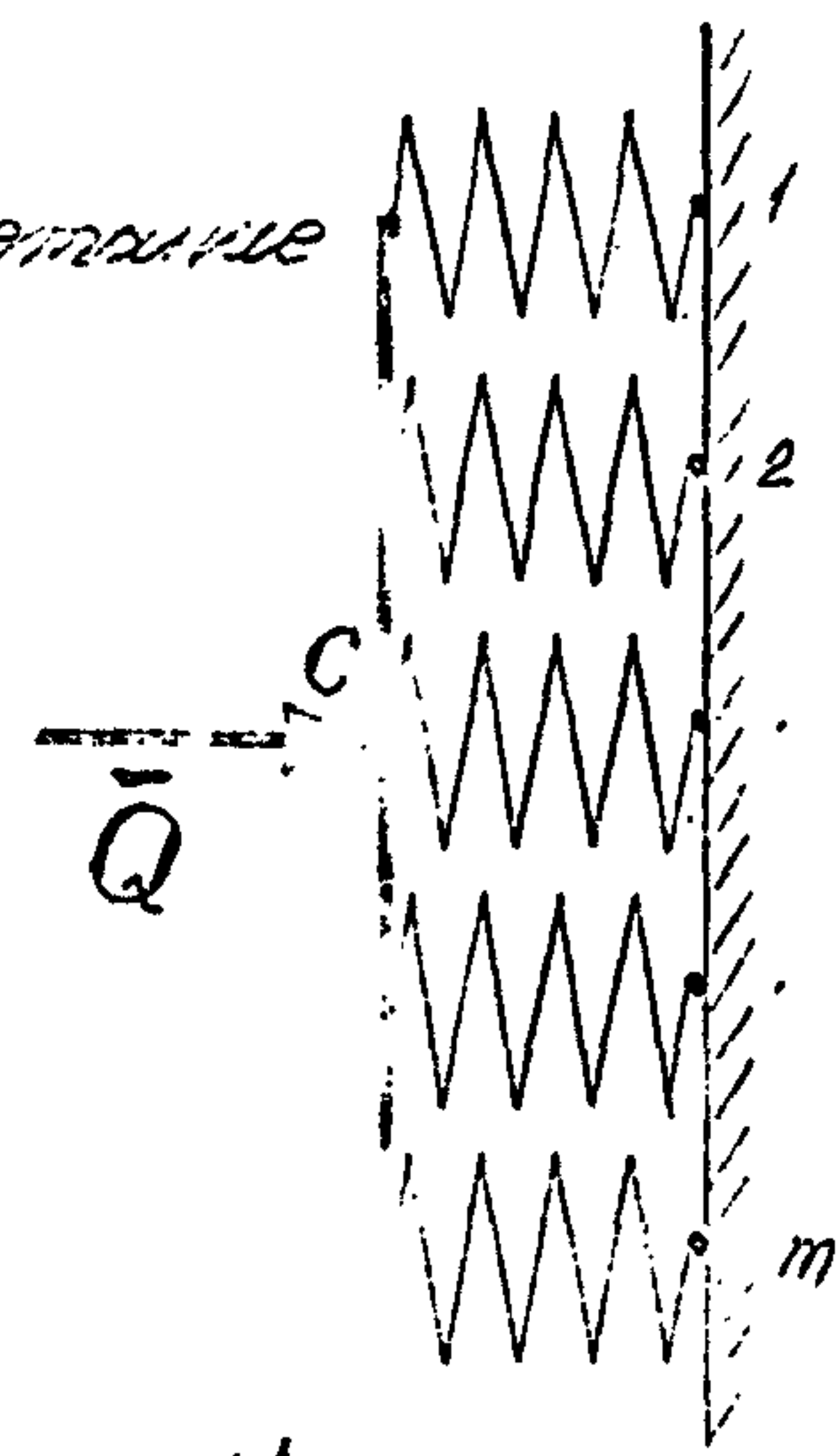
$$\kappa = \sum_{i=1}^Z \kappa_i. \quad (5)$$

2.10. Для комбинированных сочетаний линейноподатливых соединений коэффициент жесткости определяется в зависимости от схемы комбинации.

a) noacogobanische konstruktion



b) parabolische konstruktion



pic. 11

нирования сочетаний в сооружении.

Количество  $Z$  соединений и их сочетания в единой комплексной связи устанавливаются из расчетной схемы сооружения и его обустройств в зависимости от требуемой степени детализации.

2. II. Зависимость между нагрузкой  $H_x, \tau_c$ , и деформацией  $\Delta, M$ , для сочетаний  $Z$  линейноподатливых соединений принимается в виде:

$$H_x = \kappa \Delta, \quad (6)$$

где  $\Delta = \sum_{i=1}^Z \Delta_i$  – для последовательного сочетания;  $(7)$

$$\Delta = \Delta_{iH} \quad \text{– для параллельного сочетания;} \quad (8)$$

$\Delta_{iH}$  – деформация соединения, расположенного в уровне единой комплексной связи.

2. I2. Зависимость между нагрузкой  $H_x, \tau_c$ , и деформацией  $\Delta, M$ , для сочетаний  $Z$  нелинейноподатливых соединений принимается в виде:

$$H_x = \Psi \Delta^n, \quad (9)$$

где  $\Psi = \frac{\kappa_p}{(\beta z)^n}$  – для последовательного сочетания;  $(10)$

$$\Psi = \beta z \kappa_p \gamma_c^n \quad \text{– для параллельного сочетания;} \quad (11)$$

$\beta = \frac{\ell}{z}$  – коэффициент примененной длины  $\ell$  резинового элемента стандартной длины  $z$ ;

$\gamma_c$  – определяется согласно п.2.I3;

$\Delta$  – определяется по (7) или (8) в зависимости от характера сочетаний.

2.13. Коэффициент  $\gamma_c$  зависит от величины эксцентриситета  $e$ ,  $n$ , приложения силы  $H_x$  относительно горизонтали, проходящей параллельно кордону через середину отбойных устройств:

- при  $e = 0$ :  $\gamma_c = 1$ ;
  - при  $0 < |e| < \frac{A}{2} \cdot \frac{n}{n+2}$ :
- (12)

$$\gamma_c = \frac{\left[1 - \left(\frac{A}{2} + e\right) \mu\right]^{n+1}}{1 - (n+1)\left(\frac{A}{2} - e\right) \mu}, \quad (13)$$

где  $A$  - высота (или ширина) щита, распределяющего нагрузку  $H_x$  между соединениями,  $\mu$ ;

$\mu$  - определяется из уравнения:

$$\mu^3 + b\mu^2 + c\mu + d = 0, \quad (14)$$

в котором:

$$b = -1,5e(1+\gamma)\alpha; \quad (15)$$

$$c = \alpha \frac{1+3\gamma}{n-1}; \quad (16)$$

$$d = - \frac{12e\alpha}{A^2 n(n-1)}; \quad (17)$$

$$\gamma = \left(\frac{\alpha e}{A}\right)^2; \quad (18)$$

$$\alpha = \frac{40}{A^2(n-2)(1+10\gamma+5\gamma^2)}; \quad (19)$$

- при  $|e| = \frac{A}{2} \cdot \frac{n}{n+2}$ : (20)

$$\gamma_c = \frac{(n+2)^n}{(n+1)^{n+1}} \cdot \frac{1}{1 + \frac{n(n-1)}{24(\beta'c)} \left(\frac{n+2}{n+1}\right)^2}, \quad (21)$$

- при  $\frac{A}{2} \cdot \frac{n}{n+2} < |e| \leq A/2$ : (22)

определяется согласно перераспределению нагрузки между соединениями в соответствии с конструктивными их размерами по формуле (21).

**2.14.** Взаимодействие линейнонодатливых и нелинейноподатливых соединений в единой комплексной связи принимается последовательным.

**2.15.** Максимальное перемещение точки контакта в I приближении за счет деформации сочетания нелинейноподатливых соединений определяется по формуле:

$$\Delta_{max} = \sqrt[n+1]{\frac{E_n(n+1)}{\psi}}. \quad (23)$$

**2.16.** Максимально возможная деформация сочетаний нелинейноподатливых соединений принимается равной:

- для последовательного сочетания:

$$\Delta_{pmax} = \tilde{\sigma}_{max} \delta_{max}; \quad (24)$$

- для параллельного сочетания:

$$\Delta_{pmax} = \tilde{\sigma}_{max} \sqrt[n]{\gamma_c}, \quad (25)$$

где  $\delta_{max}$  – максимально возможная деформация одного соединения.

Для соединений из резиновых элементов принимается по таблице 3.

2.17. При условии

$$\Delta_{max} \leq \Delta_{rho} \quad (26)$$

горизонтальная нагрузка  $H_x, mc$ , на причал при швартовке парома определяется по формулам:

– если

$$0,1K \geq \sqrt[n+1]{\psi^2(n+1)^{2n} E_n^{n-1}}, \quad (27)$$

то

$$H_x = \sqrt[n+1]{\psi(n+1)^n E_n^n}; \quad (28)$$

– если

$$0,1K < \sqrt[n+1]{\psi^2(n+1)^{2n} E_n^{n-1}}, \quad (29)$$

то

$$H_x = \psi \Delta_{1max}, \quad (30)$$

где

$$\Delta_{1max} = \sqrt[n]{\frac{\kappa}{\psi(n+1)} \left( \sqrt{\Delta_{1max}^2 + \frac{2E_n(n+1)^2}{\kappa}} - \Delta_{1max} \right)} \quad (31)$$

определяется методом итераций с использованием первоначального значения (23). Вычисления по (31) продолжаются до тех пор, пока не будет соблюдено неравенство:

$$|\Delta_{1max}(j+1) - \Delta_j| \leq 0,001, \quad (32)$$

где  $j$  – порядковый номер вычислений.

2.18. При условии

$$\Delta_{max} > \Delta_{rho} \quad (33)$$

нагрузка  $H_x, \tau_{sc}$ , определяется по формулам:

- для параллельного сочетания нелинейноподатливых соединений:

$$H_x = \sqrt{\frac{2E_n(n+1) + \Psi K_p \Delta_{rmax}^{2n}(n+1) \frac{1}{\kappa} - 2\Psi \Delta_{rmax}^{n+1}}{\left(\frac{1}{\kappa} + \frac{1}{\beta^2 \kappa}\right)(n+1)}}; \quad (34)$$

- для последовательного сочетания нелинейноподатливых соединений:

$$H_x = \sqrt{\frac{2E_n(n+1) + \frac{K_p^2}{(\beta^2)^{n+1}} \Delta_{rmax}^{2n}(n+1) \frac{1}{\kappa} - 2\Psi \Delta_{rmax}^{n+1}}{\frac{1}{\kappa} + \frac{\beta^2(n+1)}{\kappa}}}, \quad (35)$$

где  $\kappa/c$  - жесткость одного сжатого до предела соединения,  $\tau_{sc} / m$ ;

для соединений из резиновых элементов принимается по таблице 3.

Таблица 3

п.п.	Наименование и размеры резиновых элементов	$K_p$	$n$	$\delta_{max}$ м	$\kappa/c$ $\tau_{sc}/m$	$Q_{sc}$ $\tau_{sc}$	$E_{sc}$ $\tau_{sc}/m$
1.	2	3	4	5	6	7	8
1.	Резиновая труба $D = 400$ мм $L = 2000$ мм	8034	3,15	0,22	4650	63	3,6
2.	То же, $D = 300$ мм $L = 1500$ мм	6130	3,00	0,16	3250	25	1,9

Продолжение таблицы 3

I	2	3	4	5	6	7	8
3.	Призматический элемент $VH = 600 \text{ мм}$ $L = 2500 \text{ мм}$	289	0,58	0,30	3950	I44	27,3
4.	То же, $L = 2000 \text{ мм}$	254	0,64	0,30	3290	II8	21,5
5.	То же, $L = 1500 \text{ мм}$	197	0,66	0,30	2420	90	16,1
6.	То же, $VH = 800 \text{ мм}$ $L = 3500 \text{ мм}$	498	0,65	0,40	6760	274	66,5
7.	То же, $L = 3000 \text{ мм}$	415	0,63	0,40	5850	233	57,2
8.	То же, $L = 2500 \text{ мм}$	345	0,63	0,40	5000	I93	47,5

2.19. При последовательном сочетании каждое нелинейноподатливое соединение рассчитывается на полную нагрузку  $H_x$ .

При параллельном сочетании усилие  $P_i, \tau_c$ , передающееся на одно нелинейноподатливое соединение, определяется по формуле:

$$P_i = \left[ \frac{1 + \frac{A\mu(2i-1-z)}{2z(1-\mu e)}}{1 + \frac{A\mu(z-1)}{2z(1-\mu e)}} \right]^n \cdot \sum_{i=1}^z \left[ \frac{1 + \frac{A\mu(2i-1-z)}{2z(1-\mu e)}}{1 + \frac{A\mu(z-1)}{2z(1-\mu e)}} \right]^{n_i} \quad (30)$$

где  $Z$  – количество взаимодействующих соединений;

$i$  – порядковый номер соединения, начиная с нижнего слоя  
взаимодействующих с наружом отбойных устройств;

$$\mu = \frac{tg\alpha}{\Delta_{pmax}} - \quad (37)$$

для  $|e| = \frac{\alpha}{Z} \cdot \frac{n}{n+2}$ :

$$m = \frac{1}{\mu} \cdot \frac{n+2}{n+1} \quad (38)$$

для  $0 < |e| < \frac{\alpha}{Z} \cdot \frac{n}{n+2}$   $m$  определяется по (14);

$\alpha$  – угол отклонения распределяющего наружку  $R_x$   
от неагруженного состояния.

2.20. Оптимальное количество  $m$  неподатливых соединений в отбойных устройствах определяется по формулам:

– для последовательного сочетания:

$$m = \left( \frac{E_H}{E_0} - \frac{Q_0^2}{2E_H\kappa} \right) \frac{1}{\mu}; \quad (39)$$

– для параллельного сочетания:

$$m = \frac{\sigma_c \kappa (n+1) \Delta_{pmax}}{Q_0 (n+2)} \left( \sqrt{1 + \frac{2E_H(n+2)}{\kappa \Delta_{pmax}^2}} - 1 \right), \quad (40)$$

где  $E_0$  – энегросмкость одного ската до предела  $\delta_{max}$  неподатливого соединения,  $\text{тсм}$ ;

$Q_o$  - усилие, воспринимаемое таким соединением при максимальной возможной степени сжатия,  $\tau_c$ .

Величины  $E_o$ ,  $\tau_m$ , и  $Q_o, \tau_c$ , приведены в таблице 3.

2.21. При использовании в отбойных устройствах других (отличающихся от указанных в таблице 3) типов нелинейноподатливых соединений их графическая техническая характеристика должна быть представлена к виду (3) методом наименьших квадратов.

2.22. При использовании в отбойных устройствах линейноподатливых соединений они рассчитываются по тем же формулам, что и нелинейноподатливые, при значении  $n = 1$ .

2.23. Направление действия горизонтальной нагрузки  $H_x$  принимается нормальным к лицевой грани причала. Распределение нагрузки по длине и высоте причала производится в зависимости от конструкции отбойных устройств.

2.24. Отбойные устройства паромных причалов рассчитываются при наиболее неблагоприятном сочетании положения привального бруса парома и его кинетической энергии, которое определяется рассмотрением всех возможных положений привального бруса и соответствующих величин кинетической энергии на подходе  $E_h$ .

Руководитель темы

М. Волков

Ответственный исполнитель

*Б. Б. Соколов*

В. Р. Соколов

## Приложение I

Примеры расчетов

Пример I.1. Определить нагрузки, испытываемые охраний рамой паромного причала в период швартовки к нему судну.

Схема конструкции охраний рамы показана на рис.2. Она представляет собой распределительный щит из брусьев, опирающийся на гидравлические элементы из труб диаметром  $D = 400$  мм. Количество и расположение должны быть определены расчетом.

Паромный причал представляет собой заанкерованную тонкую стальную из металлического шпунта с ж/б оголовком с песчаной засыпкой.

Судно – паром водоизмещением:

$\Delta_c = 6000$  т – на ходу в полном грузу;

$\Delta_c = 3500$  т – на ходу погожем.

Привальный брус парома находится на отметках:

в грузу: +1,65 ± +4,0 м

порожнем: +4,15 ± +6,35 м

Отметка центра щита – +4,0 м.

I.1.1. По таблице 22 СНиП П-57-75 для судна с водоизмещением  $\Delta_c = 6000$  т находим  $V = 0,146$  м/сек; для судна с водоизмещением  $\Delta_c = 3500$  т –  $V = 0,185$  м/сек.

I.1.2. По таблице 2 принимаем коэффициент  $y = 0,3 \cdot 0,8$

I.1.3. По формуле (I) определяем кинетическую энергию удара парома при подходе его к причалу:

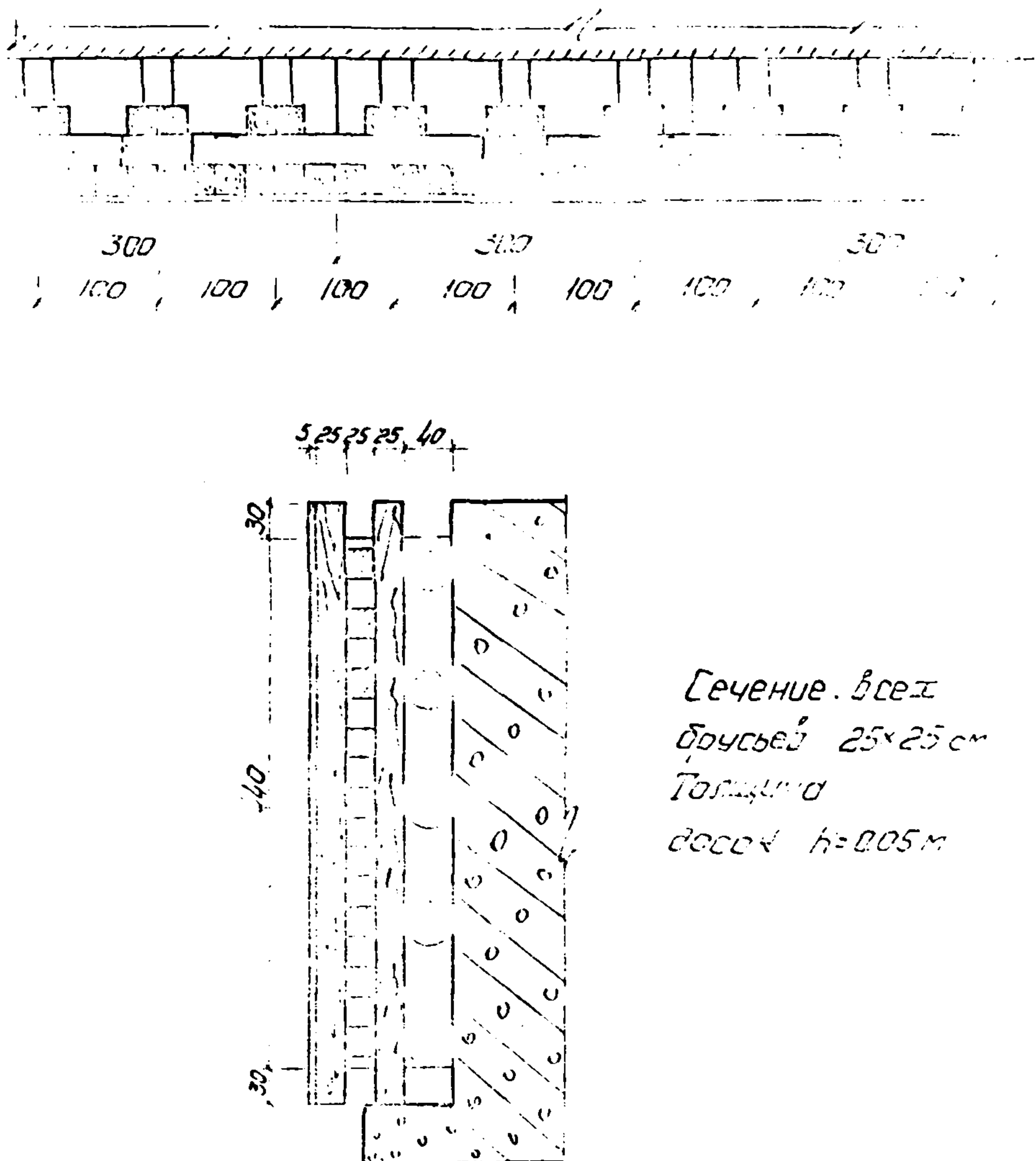


Рис. № 2

Схема конструкции ограждений рамы

$$E_{K1} = 0,8 \frac{6000 \cdot 0,146^2}{2 \cdot 9,81} = 5,21 \text{ кДж}$$

$$E_{K2} = 0,8 \frac{3500 \cdot 0,185^2}{2 \cdot 9,81} = 4,82 \text{ кДж.}$$

I.I.4. Прочность охранной рамы должна быть рассчитана исходя из указанных в условиях примера положений привального бруса и соответствующих им величин энергии  $E_K$ , подсчитанных в предыдущем пункте. Величина же горизонтальной нагрузки непосредственно из привального должна определяться по максимальному значению энергии парома.

I.I.5. Кинетическая энергия навала в процессе взаимодействия парома с причалом превращается в потенциальную энергию деформаций соединений, создающих жесткость точки контакта корпуса парома с отбойными устройствами:

- корпуса парома в месте расположения привального бруса с коэффициентом жесткости  $K_1$ ;
- распределительного щита из деревянных брусьев с коэффициентом жесткости  $K_2$ ;
- резиновых элементов из труб;
- конструкций самого причала с коэффициентом жесткости  $K_3$ .

Методами строительной механики и сопротивления материалов определяем коэффициенты жесткости:

$$K_1 = 6670 \text{ т/m}; K_2 = 30000 \text{ т/m}; K_3 = 100000 \text{ т/m}.$$

Поскольку соединения в точке контакта сочетаются последовательно, то согласно (4) должны суммироваться величины, обратно пропорциональные их коэффициентам жесткости:

$$K = \frac{1}{\frac{1}{6670} + \frac{1}{30000} + \frac{1}{100000}} = 5180 \text{ кс/м.}$$

I.I.6. По таблице 3 для трубы диаметром  $D = 400$  мм и длиной  $\ell = 2000$  мм имеем зависимость силы её сжатия от величины деформации:

$$H_{xp} = 8034 \Delta_p^{3,15} (K_p = 8034; n = 3,15).$$

По той же таблице имеем также величину деформации сжатия до предела резиновых элементов:

$$\delta_{max} = 0,22 \text{ м.}$$

и величину коэффициента их жесткости за пределами деформации  $\delta_{max}$ :

$$K_c = 4650 \text{ кс/м.}$$

I.I.7. Решая вначале задачу методом попбора в предположении, что разрезка стандартных труб по длине излишня, принимаем, что распределительный щит охранной рамы опирается на 5 слоистых резиновых труб, расположенных горизонтально, длиной  $\ell = 3,0$  м, т.е., по всей ширине щита в плане.

Указанный в п.2.12 коэффициент примененной длины:

$$\beta = \frac{3,0}{2,0} = 1,5.$$

Горизонтальная нагрузка достигает максимальной величины в случае, когда эксцентрикитет (п.2.13):  $e = 0$ .

Тогда  $\gamma_c = 1$ .

По (II) находим коэффициент  $\Psi_1$ :

$$\Psi_1 = 1,5 \cdot 5 \cdot 8034 \cdot 1 = 60255,$$

где индекс  $1$  – обозначает номер варианта.

Деформация резиновых элементов в первом приближении по (23) составляет:

$$\Delta_{max} = \sqrt[4,15]{\frac{5,21 \cdot 4,15}{60255}} = 0,149 \text{ м} < \delta_{max} = 0,22 \text{ м}.$$

Производим проверку неравенства (27):

$$0,1K = 0,1 \cdot 5180 = 518;$$

$$\sqrt[4,15]{60255^2 \cdot 4,15^{6,3} \cdot 5,21^{2,15}} = 4103.$$

Выполняется неравенство (29).

Деформация резиновых элементов во II приближении по (31) составляет:

$$\Delta_{1max} = 0,136 \text{ м}.$$

Горизонтальная нагрузка на причал достигает своего максимума по (30):

$$H_x = 60255 \cdot 0,136^{3,15} = 112 \text{ тс.}$$

Для расчетов прочности распределительного шита необходимо рассмотреть его загружения при всех возможных положениях приводного бруса, указанных в условиях примера, и выбрать из них наиболее неблагоприятное по прочности.

Не рассматривая все положения, покажем как определяется нагрузка при некоторых эксцентрикитетах ее приложения к шиту.

Для случая  $e = -1,0 \text{ м}$

Величина (I2):

$$\frac{A}{2} \cdot \frac{n}{n+2} = \frac{5}{2} \cdot \frac{3,15}{5,15} = 1,53 \text{ м.}$$

Следовательно, в этом случае:

$$|e| < 1,53 \text{ м.}$$

По (I8) находим коэффициент  $\gamma$ :

$$\gamma = \left( \frac{2e}{A} \right)^2 = \left( \frac{2 \cdot 1}{5} \right)^2 = 0,16.$$

По (I9) – коэффициент  $\alpha$ :

$$\alpha = \frac{40}{5^2 \cdot 1,15 (1 + 10 \cdot 0,16 + 5 \cdot 0,16^2)} = 0,501.$$

По (I5)-(I7) определяем  $b$ ;  $c$  и  $d$ :

$$b = -1,5 \cdot (-1) \cdot (1 + 0,16) \cdot 0,501 = 0,876;$$

$$c = 0,501 \frac{1 + 3 \cdot 0,16}{3,15 - 1} = 0,345;$$

$$d = - \frac{12 \cdot (-1) \cdot 0,501}{5^2 \cdot 3,15 \cdot (3,15 - 1)} = 0,0355.$$

Решаем кубическое уравнение (14):

$$\mu^3 + 0,872\mu^2 + 0,345\mu + 0,0355 = 0$$

$$\mu = -0,1492.$$

По (13) определяем коэффициент  $\gamma_c$ :

$$\gamma_c = \frac{[1 - (2,5 - 1)(-0,1492)]^{4,15}}{1 - (3,15 + 1)(2,5 + 1)(-0,1492)} = 0,73.$$

По (II):

$$\psi_2 = 1,5 \cdot 5 \cdot 8034 \cdot 0,73 = 44000.$$

Деформация резиновых элементов в месте приложения нагрузки определяется в первом приближении по (23):

$$\Delta_{2max} = \sqrt[4,15]{\frac{5,21 \cdot 4,15}{44000}} = 0,16 \text{ м.}$$

Максимально возможная деформация резиновых элементов для этого случая определяется по (25):

$$\Delta_{pmax} = 0,22 \sqrt[3,15]{0,73} = 0,22 \cdot 0,9048 = 0,2 \text{ м.}$$

Неравенство (26) выполняется. Выполняется также неравенство (29). Величину деформации резиновых элементов во II приближении определяем по (31):

$$\Delta_{2max} = 0,148 \text{ м.}$$

Горизонтальная нагрузка при этом будет по (30):

$$H_x = 44000 \cdot 0,148^{3,15} = 107 \text{ тс.}$$

Для случая  $e = -1,53\text{м}$

В данном случае:

$$|e| = \frac{f}{2} \cdot \frac{n}{n+2} .$$

При этом распределительный щит имеет треугольную форму перемещения, нижние резиновые элементы при этом имеют наибольшее сжатие, верхние — наименьшее.

По (21) определяем коэффициент  $\gamma_c$ :

$$\gamma_c = \frac{(3,15+2)^{3,15}}{(3,15+1)^{4,15}} \cdot \frac{1}{1 + \frac{3,15 \cdot 2,15}{24 \cdot (1,5 \cdot 5)^2} \cdot \left(\frac{3,15+2}{3,15+1}\right)^2} = 0,47.$$

По (II) коэффициент  $\Psi_3$ :

$$\Psi_3 = 1,5 \cdot 5 \cdot 8034 \cdot 0,47 = 28300.$$

Деформация резиновых элементов в первом приближении по (23):

$$\Delta_{3\max} = \sqrt[4,15]{\frac{5,21 \cdot 4,15}{28300}} = 0,177 \text{ м.}$$

Максимально возможная деформация по (25):

$$\Delta_{p\max} = 0,22 \sqrt[4,15]{0,47} = 0,173 \text{ м.}$$

Находим деформацию резиновых элементов во II приближении по (23):

$$\Delta_{3\max} = 0,168 \text{ м.}$$

Тогда будет выполняться неравенство (26), и горизонтальная нагрузка определяется по п.2.17 по формуле (30):

$$H_x = 28300 \cdot 0,168^{3,15} = 10,2 \text{ тс.}$$

I.I.8. Определим оптимальное количество резиновых щитов по (40):

$$m = \frac{947 \cdot 5180 \cdot (3,15+1) \cdot 0,22}{1 \cdot 68 \cdot (3,15+2)} \left( \sqrt{1 + \frac{2 \cdot 521 \cdot (3,15+2)^2}{5180 \cdot 0,22}} - 1 \right) = 4,5.$$

Так как по (II):

$$m = \beta^2,$$

то, принимая по высоте щита  $\gamma = 5$  рядов резиновых труб, получим, что:

$$\beta = \frac{m}{\gamma} = \frac{2,5}{5} = 0,56.$$

Из пункта 2.12 коэффициент  $\beta$ :

$$\beta = \frac{\ell}{L},$$

$$\text{откуда } \ell = \beta L = 0,56 \cdot 2 = 1,12 \text{ м.}$$

$$\text{Принимаем: } \ell = 1,2 \text{ м.}$$

Этот расчет показывает, что применение сплошных резиновых труб по длине щита необязательно. Если принять, что по длине щита (рис.2) располагаются 4 отрезка резиновых труб, то длина одного отрезка будет равна:

$$l_{\text{отр}} = \frac{1,2}{4} = 0,3 \text{ м.}$$

Подсчитаем теперь горизонтальные нагрузки для тех же случаев приложения, что и в предыдущем пункте.

Для случая  $e = 0$

По пункту 2.13 имеем:  $\gamma_c = 1$ .

По (II) коэффициент  $\psi$ :

$$\psi_1 = \frac{4,2}{2} \cdot 5 \cdot 8034 \cdot 1 = 24102.$$

Деформация резиновых элементов в первом приближении по (15):

$$\Delta_{1\max} = \sqrt[4,15]{\frac{5,21 \cdot 4,15}{24102}} = 0,184 \text{м.}$$

Максимально возможная деформация резиновых элементов по (15):

$$\Delta_{p\max} = 0,22 \sqrt[3,15]{1} = 0,22 \text{м.}$$

Поскольку выполняется неравенство (26), горизонтальную нагрузку определяем по п.2.17.

Проверка неравенства (27):

$$0,1 \text{ к} = 0,1 \cdot 5180 = 518;$$

$$\sqrt[n+1]{\psi^2 (n+1)^2 E_n^{n-1}} = \sqrt[4,15]{24102^2 \cdot 4,15^6 \cdot 5,21^{2,15}} = 2650.$$

Выполняется неравенство (29). Поэтому нагрузка  $H_x$  определяется по формуле (30). Деформация резиновых элементов во II приближении:

$$\Delta_{1\max} = \sqrt[3,15]{\frac{5180}{24102 \cdot 4,15} \left( \sqrt[4,15]{2 + \frac{3 \cdot 5,21 \cdot 4,15^2}{5180}} - 0,184 \right)} = 0,173 \text{м.}$$

Горизонтальная нагрузка:

$$H_x = 24102 \cdot 0,173^{3,15} = 96,2 \text{ тс.}$$

Для случая  $e = -1,0m$ .

Коэффициент  $\gamma_c$  подсчитан в предыдущем пункте. Он же употреблен и здесь, поскольку он зависит только от эксцентричности расположения нагрузки:

$$\gamma_c = 0,73.$$

По (II) коэффициент  $\psi$ :

$$\psi_2 = \frac{1,2}{2} \cdot 5 \cdot 8034 \cdot 0,73 = 17560.$$

Деформация резиновых элементов в первом приближении по (18):

$$\Delta_{2max} = \sqrt[4,15]{\frac{5,21 \cdot 4,15}{17560}} = 0,199m.$$

Максимально возможная деформация резиновых элементов по (25):

$$\Delta_{rmax} = 0,2m \sqrt[4,15]{0,73} = 0,2m.$$

Поскольку выполняется неравенство (26), горизонтальная нагрузка определяется по п.2.17.

Проверка неравенства (27):

$$\sqrt[n+1]{\psi^2(n+1)^{2n} E_{kk}^{n+1}} = \sqrt[4,15]{17560^2 \cdot 4,15^{6,3} \cdot 5,21^{4,15}} = 2266.$$

Выполняется неравенство (29). Определим деформацию резиновых элементов во II приближении по (31):

$$\Delta_{2max} = \sqrt[3,15]{\frac{5180}{17560(3,15+1)} \left( \sqrt{0,199^2 + \frac{4 \cdot 5,21 \cdot 4,15^2}{5180}} - 0,199 \right)} = 0,188m.$$

И горизонтальная нагрузка по (30):

$$H_x = 17560 \cdot 0,188^{3,15} = 912 \text{ mc.}$$

для случая  $e = -1,53M$

Коэффициент  $\chi_c = 0,47$  (по предыдущему пункту).

Коэффициент  $\psi$  по (II):

$$\psi_3 = \frac{1,2}{2} \cdot 5 \cdot 8034 \cdot 0,47 = 11300.$$

Деформация резиновых элементов в I приближении:

$$\Delta_{\text{max}} = \sqrt{\frac{5,21 \cdot 4,15}{11300}} = 0,22 \text{ м.}$$

Максимально возможная деформация для этого случая (подсчитана в предыдущем пункте):

$$\Delta_{\text{pmax}} = 0,173 \text{ м.}$$

Поскольку здесь выполняется неравенство (33), нагрузку следует определять по п. 2.18:

$$H_x = \sqrt{\frac{2 \cdot 5,21 \cdot 4,15 + 11300 \cdot 8034 \cdot 0,173 \cdot 4,15 \cdot \frac{1}{11300} - 2 \cdot 11300 \cdot 0,173^2}{\left(\frac{1}{5120} + \frac{1}{0,6 \cdot 5 \cdot 4650}\right) (3,15 + 1)}} = 105 \text{ т.}$$

Результаты следом в таблицу 4.

Таблица 4

Методы	Деформации $\Delta_{\text{max}}, \text{м}$			Нагрузка $H_x, \text{т}$		
	$e=0$	$e=-1,0M$	$e=-1,53M$	$e=0$	$e=-1,0M$	$e=-1,53M$
I. Подбора	0,136	0,164	0,211	112	107	105
II. При определении оптимального количества резиновых элементов	0,173	0,203	0,220	96,2	91,2	103

Из рассмотрения таблицы 4 получается, что по второму варианту резиновые элементы используются экономичнее, так как в стойках устройствах этого варианта резиновых элементов в 2,5 раза меньше, чем в первом варианте. Это также означает, что по первому варианту отбойные устройства обладают излишней энергоемкостью.

I.I.9. Основой расчета на прочность распределительного гнита являются изгибающие моменты и поперечные силы, развивающиеся в его элементах в результате действия на него внешней силы  $H_x$  и реакции резиновых элементов. Реакции в резиновых элементах определяются с помощью формулы (36) для всех возможных положений привального бруса. При этом нужно учитывать, что на отметках +4,15 м и +6,35 м происходит швартовка парома с кинетической энергией  $E_{Kx} = 4,87 \text{ тсм}$ , а на отметках +1,65 м и +4,0 м – с энергией  $E_{Kx} = 5,21 \text{ тсм}$ . Положение привального бруса фиксируется в формуле (36) эксцентриситетом  $\epsilon$ .

Здесь покажем, как определяются реакции для случая  $\epsilon = -1,0\%$ .

Выше определен коэффициент:

$$\mu = -0,1492 \frac{1}{\text{м}}.$$

Задавая последовательно значения индексу  $i = 1, 2, 3, \dots, 5$ , определим реакции резиновых элементов:

$$P_1 = \left[ \frac{1 + \frac{5(-0,1492)(2-1-5)}{2 \cdot 5 \cdot (1-0,1492 \cdot 1)}}{1 + \frac{5(-0,1492)(5-1)}{2 \cdot 5 \cdot (1-0,1492)}} \right]^{3,15} \sum_{i=1}^5 \left[ \frac{1 + \frac{5(-0,1492)(2i-1-5)}{2 \cdot 5 \cdot (1-0,1492 \cdot 1)}}{1 + \frac{5(-0,1492)(5-1)}{2 \cdot 5 \cdot (1-0,1492 \cdot 1)}} \right]^{3,15} = 157,2$$

$$P_2 = 29,6 \text{ тс}; P_3 = 17,7 \text{ тс}; P_4 = 9,7 \text{ тс}; P_5 = 4,6 \text{ тс}.$$

Проверка:

$$\sum_{i=1}^5 P_i = 45,7 + 29,6 + 17,7 + 9,7 + 4,6 = 107,3 \text{ тс.}$$

$$\sum_{i=1}^5 P_i = H_x.$$

Вычисления произведены верно.

Для других эксцентрикитетов вычисления проводятся аналогично.

Пример I.2. Необходимо рассчитать количество пружинных амортизаторов для установки в ложе паромов с целью поглощения их энергии захода.

Исходные данные по судну взять по примеру I.1.

Схема амортизационных устройств ложа паромного причала с расчетной схемой и технической характеристикой амортизатора показана на рис.3.

I.2.1. Скорость захода парома в ложе по таблице I составляет

$$v = 0,62 \text{ м/c.}$$

I.2.2. Коэффициент  $Y$  принимаем по таблице 2:

$$Y = 1,1.$$

I.2.3. По формуле (I) определяем кинетическую энергию захода парома в ложе:

$$E_k = 1,1 \frac{6000 \cdot 0,62^2}{2g} = 128,8 \text{ кДж.}$$

I.2.4. Коэффициент жесткости одного пружинного амортизатора согласно его технической характеристике:

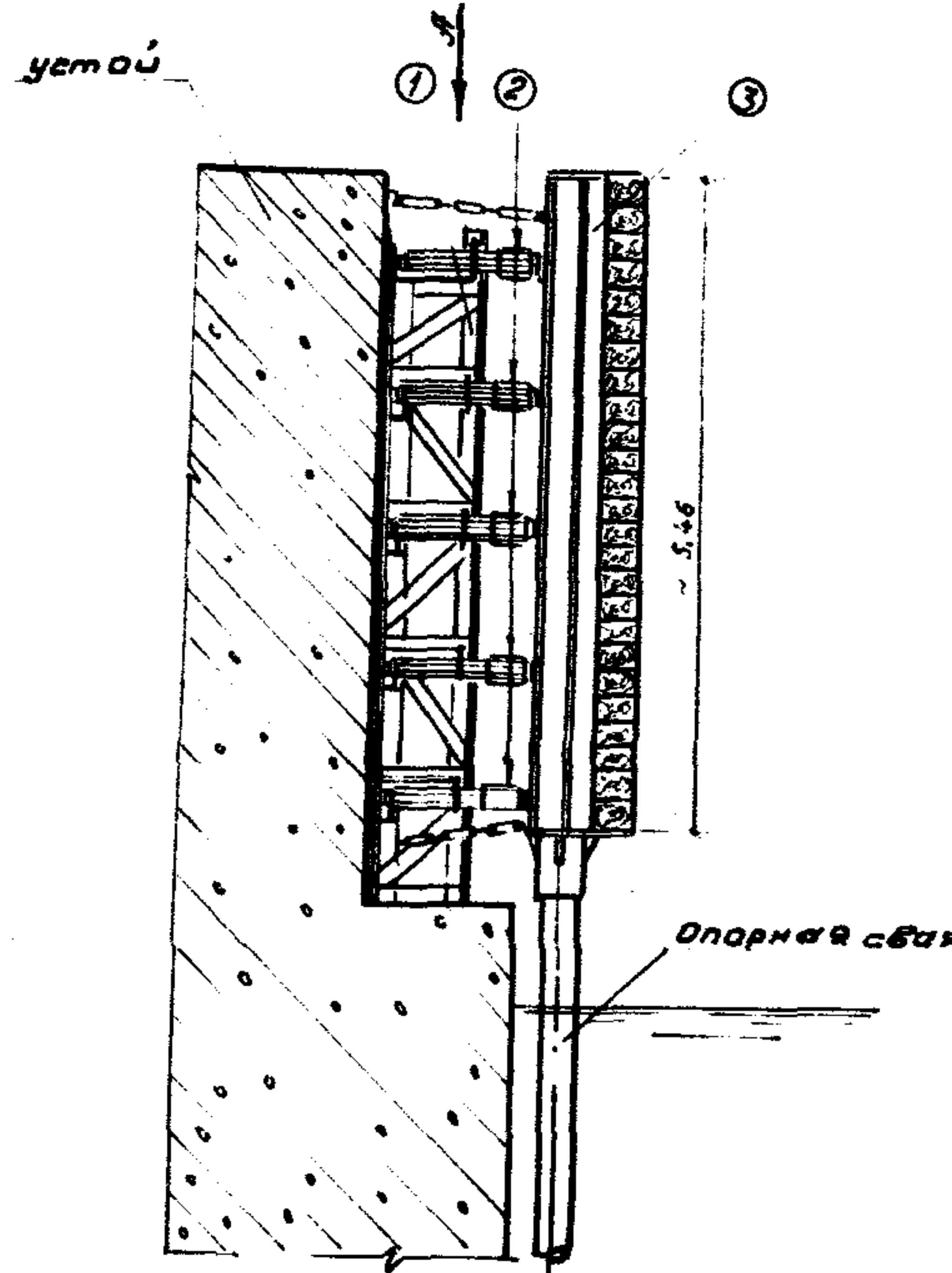
$$K_{np} = \frac{35}{0,19} = 184 \text{ тс/м.}$$

Система амортизационных устройств

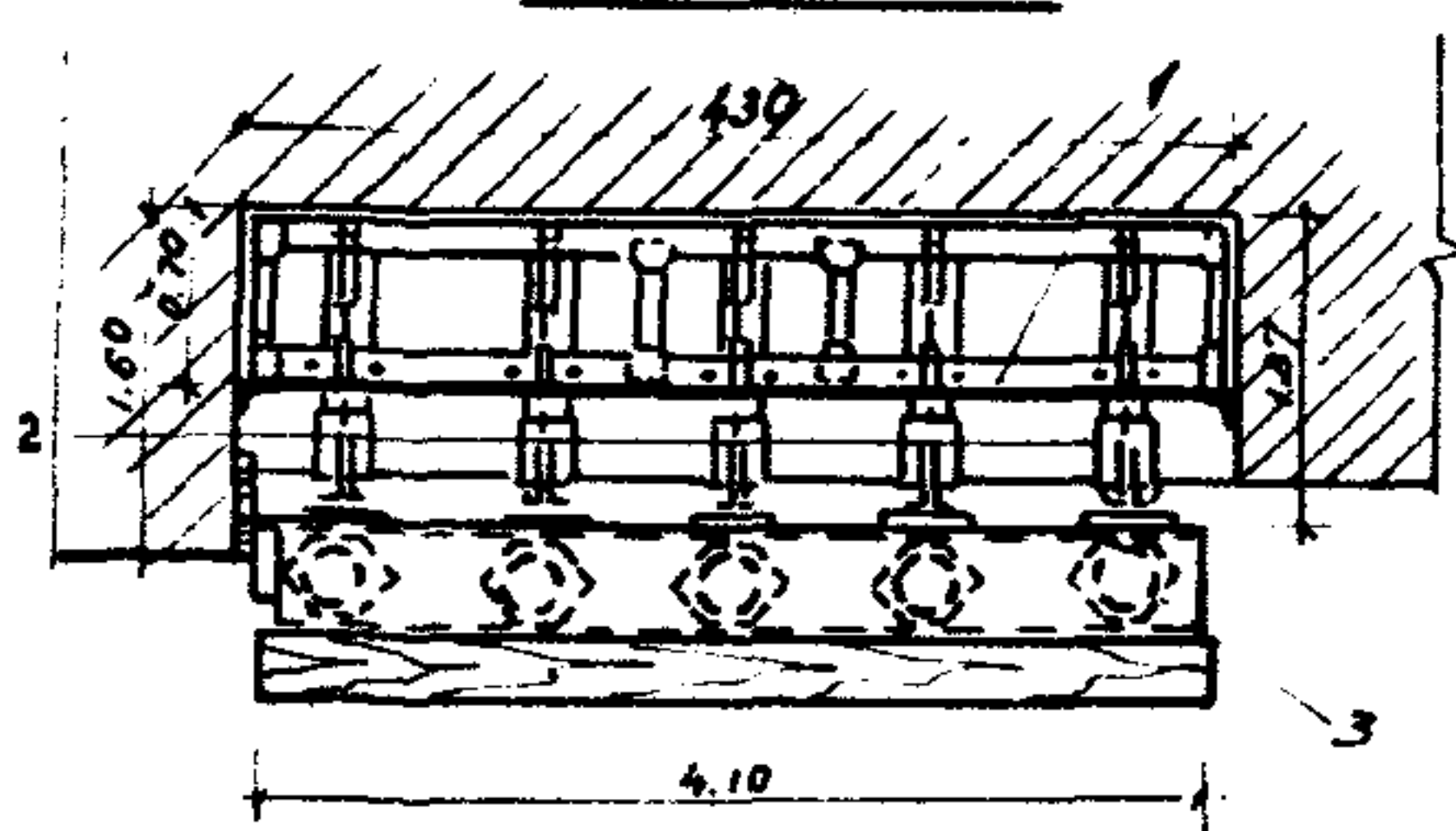
РТМ 31.3011-77 СТР. 29

в ложе паромного причала

Установка амортизаторов  
в системе отбойного устройства

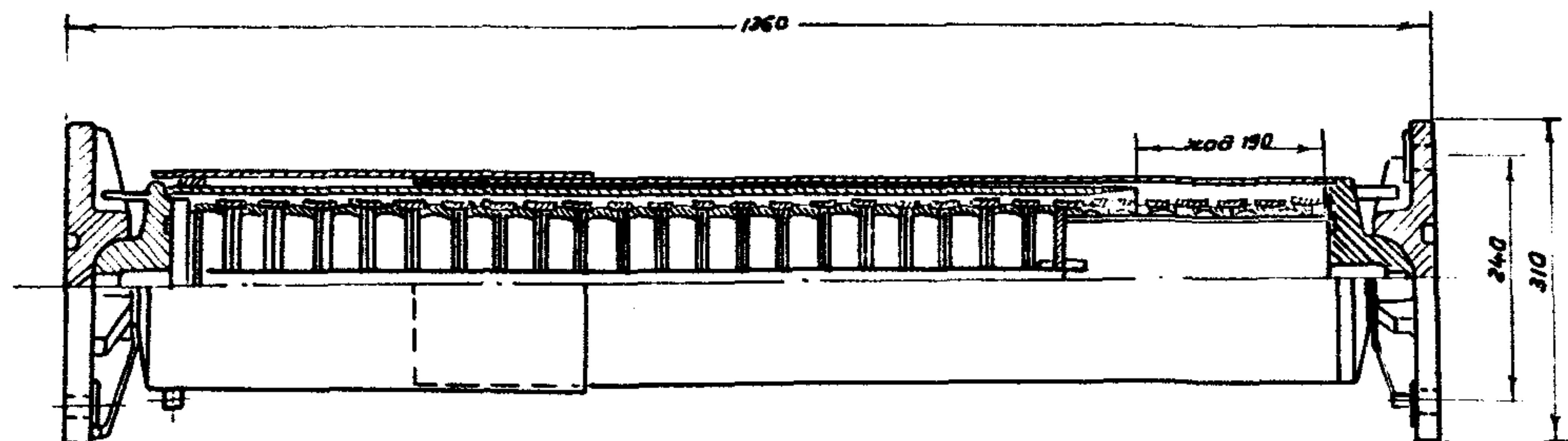


Вид по „А“

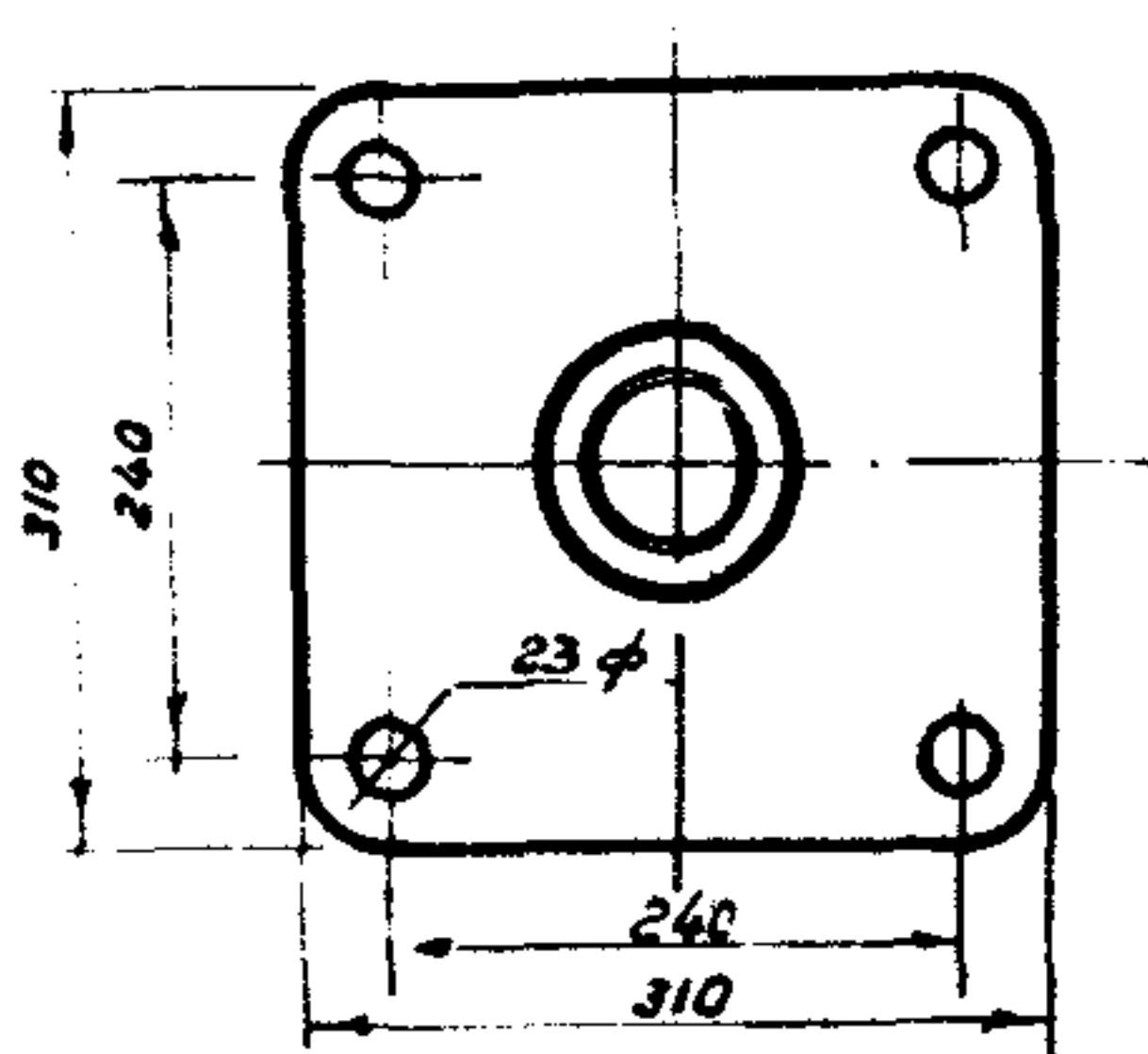


- 1 Металлическая рама (кассета)
- 2 Амортизаторы
- 3 Отбойный щит.

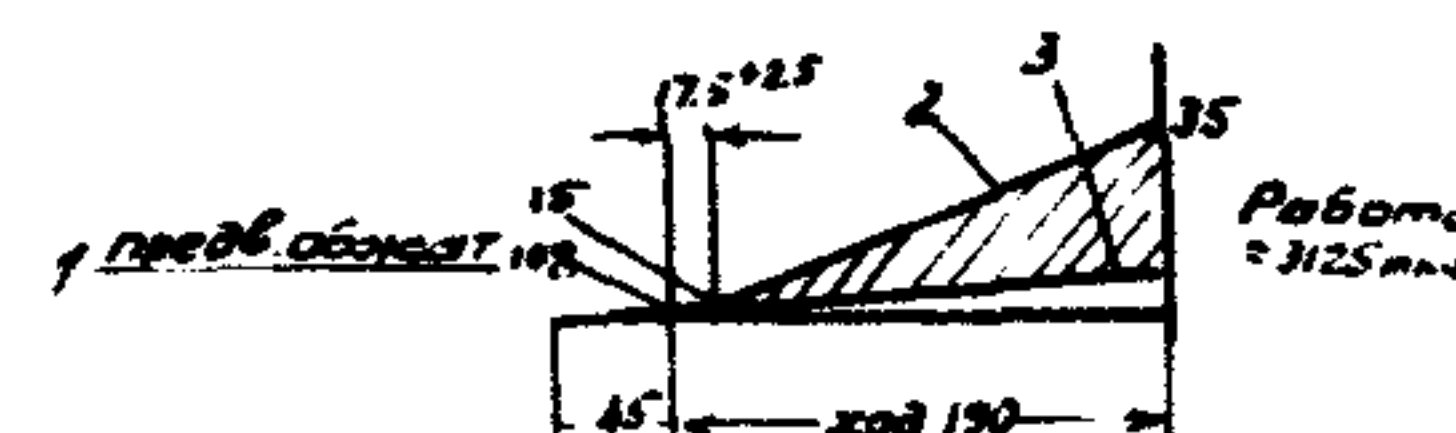
Амортизатор в сборе



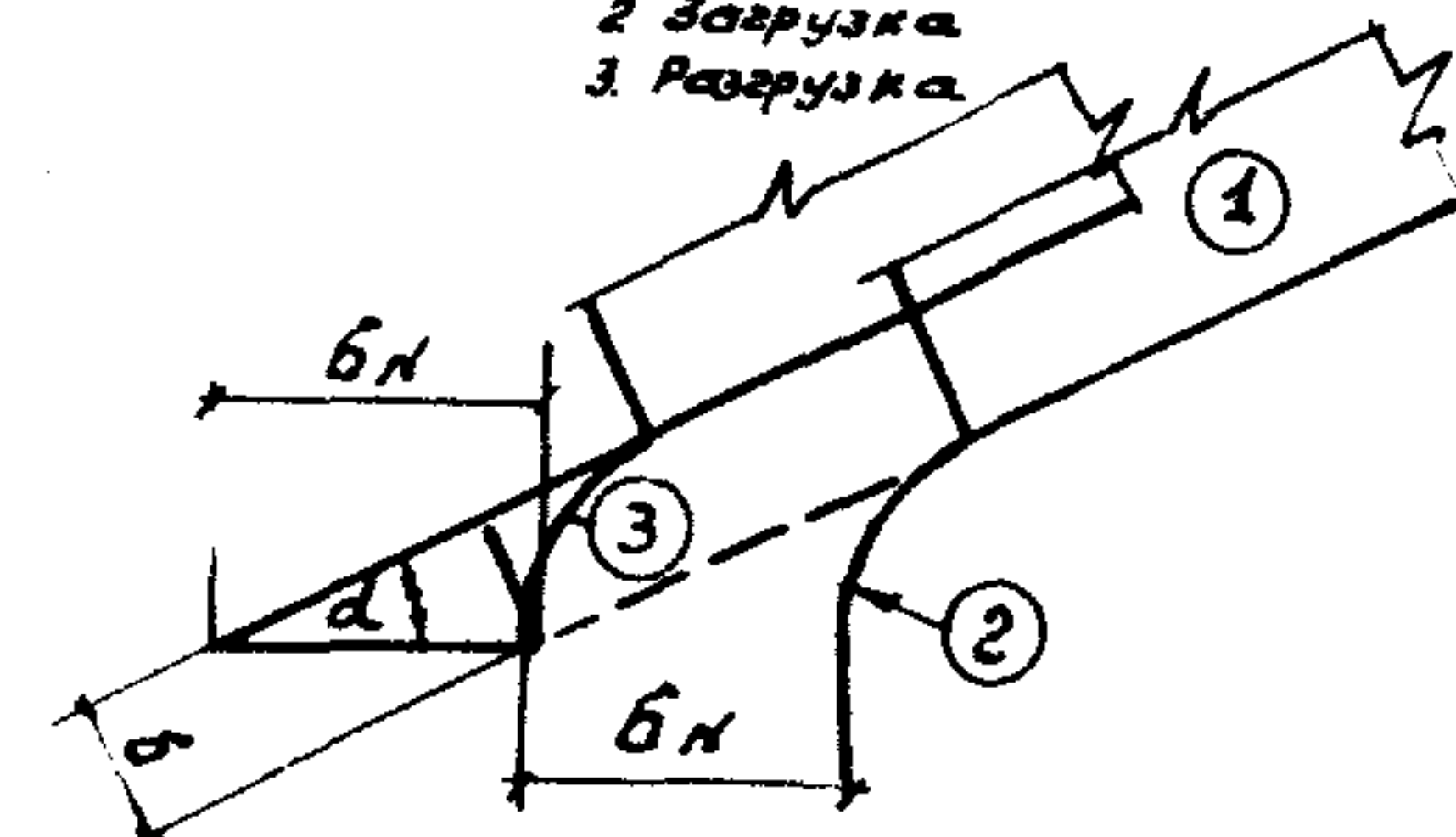
Опорная плита



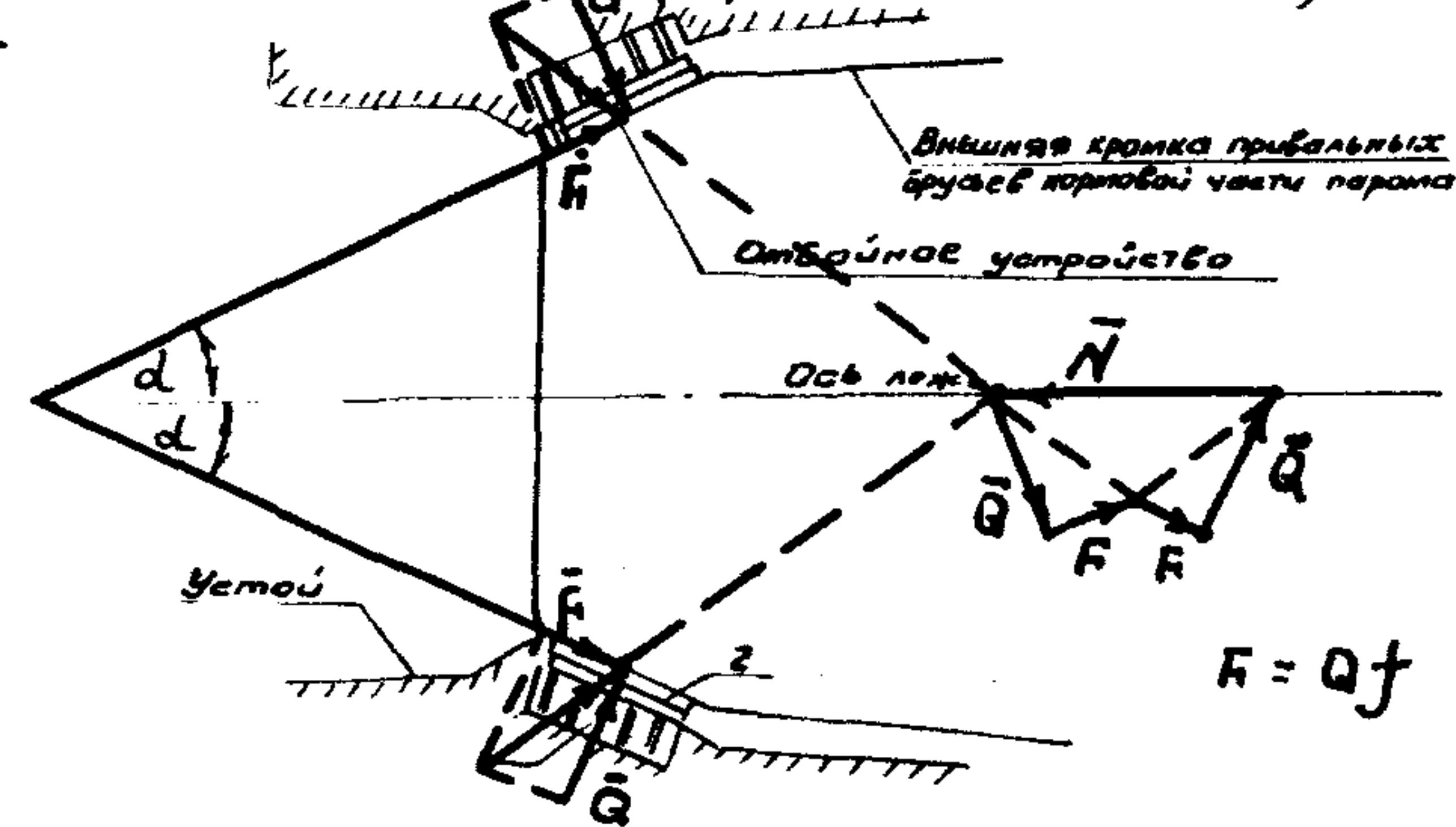
Техническая характеристика амортизатора



- 1 Предварительное обжение
- 2 Загрузка
- 3 Разгрузка



Размещение отбойных устройств в ложе паромного причала



1. Отбойный щит
2. Корпус парома в момент соприкосновения со щитом
3. Корпус парома после перемещения щита на величину b

Рис. 3

I.2.5. По расчетной схеме рис.3 равнодействующая сил  $Q$   равна:

$$N = 2Q(\sin \alpha_0 + f \cos \alpha_0), \quad (41)$$

где  $f = 0,6$  – коэффициент трения дерева по металлу;

$\alpha_0$  – угол, показанный на рис.3.

При  $Q = k_{ay} \delta$  и  $N = k_N \delta_N$  последнее уравнение принимает вид:

$$k_N \delta_N = 2 k_{ay} \delta (\sin \alpha_0 + f \cos \alpha_0), \quad (42)$$

где  $k_{ay}$  – коэффициент жесткости амортизационного устройства с одного борта парома;

$k_N$  – коэффициент жесткости общей системы амортизационных устройств в направлении силы  $N$ .

По рис.3, кроме того, имеем:

$$\delta = \delta_N \sin \alpha_0. \quad (43)$$

Подставляем значение (43) в (42):

$$k_N = 2 k_{ay} \sin \alpha_0 (\sin \alpha_0 + f \cos \alpha_0). \quad (44)$$

Для одного пружинного амортизатора (при  $\alpha_0 = 23^\circ$ ):

$$k_N = 2 \cdot 184 \sin 23^\circ (\sin 23^\circ + 0,6 \cos 23^\circ) = 136 \text{ мс/н.}$$

I.2.6. Методами строительной механики находим коэффициенты жесткости:

- корпуса парома  $k_1 = 6667 \text{ мс/н.}$
- устоя ложа  $k_2 = 90910 \text{ мс/н.}$
- распределительного щита  $k_3 = 30300 \text{ мс/н.}$

Суммарный коэффициент жесткости определяем по формуле (44).

т.к. соединения здесь сочетаются последовательно:

$$K = \frac{1}{\frac{1}{6667} + \frac{1}{90910} + \frac{1}{30300}} = 5160 \text{ мс/m.}$$

По аналогии с (44) приведем суммарный коэффициент жесткости к оси парома:

$$K_{opt} = 5160 \cdot 0,738 = 3810 \text{ мс/m.}$$

I.2.7. Из (43) имеем:

$$\delta_N = \frac{\delta}{\sin \alpha_0}.$$

При максимально возможном ходе пружинного амортизатора  $\delta_{max} = 0,19m$  максимально возможный ход парома по этому устройству составит:

$$\Delta_{pmax} = \frac{0,19}{\sin 23^\circ} = 0,486 \text{ м.}$$

I.2.8. Оптимальное количество амортизирующих элементов в отбойных устройствах ложа может быть определено по формуле (20), в которой необходимо принять значения величин следующие (согласно п. 2.22):

$$n = 1; Q_0 = K_N \Delta_{pmax}; \quad K = K_{opt};$$

$$\gamma_c = \frac{(n+2)^n}{(n+1)^{n+1}} = \frac{3}{4} \quad \text{по (21); } \beta = 1.$$

При этих обозначениях формула (21) приобретает вид:

$$m = 0,5 \frac{K_{оп}}{K_N} \left( \sqrt{1 + \frac{R E_N}{k_{оп} \Delta_{\mu_{max}}^2}} - 1 \right),$$

который дает возможность определить оптимальное количество пружинных амортизаторов в отбойных устройствах ложа парома. Оно составляет:

$$m = 0,5 \frac{3810}{136} \left( \sqrt{1 + \frac{18 \cdot 128,8}{3810 \cdot 0,486^2}} - 1 \right) = 12,5 \text{ шт.}$$

Принимаем  $m = 13$  шт.

Таким образом, в ложе паромов необходимо установить 13 пружинных амортизаторов с каждого борта парома вместо 25 штук их, установленных согласно расчетам по методу подбора, выполненным в 60-х годах.

Перечень заимствованных нормативно-технических документов, на которые имеются ссылки в тексте РТМ

СНиП П-57-75. Нагрузки и воздействия на гидротехнические сооружения (волновые, ледовые и от судов).

СНиП П-51-74. Гидротехнические сооружения морские. Основные положения проектирования.

Последняя запискаВведение

Настоящий проект "Руководства по определению горизонтальных нагрузок на причальные сооружения при швартовке и отводе корабля" разработан на основании наряд-заказа Соясморнипроекта за № 1507 от 24 февраля 1975 года и является II редакцией РТМ, распространяющей методы расчетов горизонтальных нагрузок от кораблей при их швартовке к причальным сооружениям в расширении СНиП Г-57-73 "Нагрузки и воздействия на гидротехнические сооружения (ветровые, ледовые и от судов)", а также определения при этом расчетных условий в элементах отбойных устройств паромных причалов. Это II редакция /I/ была выпущена в 1975 году как Стендарт профнормы, предназначенный для использования в Соясморнипроекте и его филиалах.

Проект РТМ был рассмотрен на заседании Научно-Технического Совета Каспморнипроекта и направлен на отзыв в Гидроморнипроект, Соясморнипроект и Черноморнипроект. Полученные от Гидроморнипроекта (авторы Дорофеев С.Л. и Вульфсон Б.И.) и Черноморнипроекта (авторы кандидат технических наук Тихонин И.Б. и Курочкин Н.Р.) рецензии содержали деловые замечания и предложения, которые в основном большинстве учтены в новой редакции РТМ.

**I. Технико-экономическое обоснование**  
целесообразности введенния руководства

I.I. На основании рекомендаций РГД, разработанных после проведения натурных исследований в 1971-1975 гг. на паромных причалах в Баку и Красноводске, горизонтальная нагрузка на устое лодочного парома при сохранении их прочности и устойчивости может быть снижена с 700 тс до 300 тс.

Объем одного устоя при площади его основания  $S = 210 \text{ м}^2$  и высоте  $H = 15 \text{ м}$ :

$$V = 210 \times 15 = 3150 \text{ м}^3$$

можно при этом уменьшить в той же пропорции до величины

$$V_{\text{дн}} = \frac{3150}{700} \cdot 300 = 1350 \text{ м}^3.$$

Экономия бетона на одном устое составит:

$$3150 - 1350 = 1800 \text{ м}^3.$$

При ориентировочной стоимости 1  $\text{м}^3$  бетона, равной 20 руб., ожидаемая экономия по 1 устю составит:

$$1800 \times 20 = 36 \text{ тыс.руб.}$$

Экономия на 1 паромный причал (на 2 устя) будет равна:

$$36000 \times 2 = 72 \text{ тыс.руб.}$$

I.2. Рекомендуемый в проекте РГД метод расчета отбойных устройств паромных причалов позволяет применить в них в 2,5 раза (см. Приложение I. Примеры расчетов) меньше резиновых труб, используемых

ром  $D = 400 \text{мм}$ , чем это требуется расчетами непосредственно по СНиП II-57-75. При этом также уменьшается количество пружинных амортизаторов с 50 до 26 штук, устанавливаемых в ложе паромов (см. Приложение I. Пример I.2).

На один паромный причал, рассчитанный на прием паромов водоизмещением 6,0-6,5 тыс.т, требуется по его длине 120 м (при 5 резиновых трубах по высоте) по СНиП II-57-75:

$$\frac{120 \times 5}{2} = 300 \text{ резиновых труб длиной}$$

$L = 2000 \text{мм}$  каждая.

Благодаря рекомендациям РТМ это количество можно уменьшить на:

$$\frac{300}{2,5} (2,5 - 1) = 180 \text{ шт.}$$

При стоимости одной трубы  $C_{tp} = 324,26 \text{ руб}$  (в ценах) экономия резиновых элементов оценивается величиной

$$324,26 \times 180 = 58400 \text{ руб.}$$

Экономия пружинных амортизаторов оценивается величиной:

$$(50 - 26) \times 720 = 17300 \text{ руб.}$$

I.3. Усовершенствование метода расчета позволяет уменьшить сечение деревянных брусьев отбойных устройств с  $0,35 \times 0,35 \text{ м}$  до  $0,25 \times 0,25 \text{ м}$ . Общее уменьшение объема древесины (в ценах) на причале длиной 120 м составит (при высоте охранной решетки 5 м):

- по лицевому ряду брусьев

$$5 \times 120 \times (0,35-0,25) = 60 \text{ м}^3$$

- по тыловому ряду брусьев

$$\frac{\frac{120}{0,25} \times 0,25 \times 0,25 \times 5}{2} = 75 \text{ м}^3$$

Итого  $135 \text{ м}^3$

Экономия деревянных брусьев при ориентировочной стоимости  $1 \text{ м}^3$  их, равной 60 руб, оценится величиной

$$135 \times 60 = 8100 \text{ руб.}$$

I.4. Общая экономия на I паромном причале:

$$72000 + 58400 + 17300 + 8100 = 155800 \text{ руб.}$$

Таким образом, экономический эффект, который предполагается получать от введения настоящего РТМ в действие при проектировании каждого нового паромного причала, рассчитанного на прием паромов водоизмещением  $6,0 \div 6,5$  тыс.т, составляет примерно 150 тыс.руб.

Для паромов других водоизмещений экономический эффект (в тыс. руб.) можно определять по формуле:

$$C_3 = 150 \times \sqrt{\frac{D_c}{6,5}},$$

где  $D_c$  - водоизмещение парома в тыс.т.

I.5. "Руководство" целесообразно ввести в действие с I марта 1977 года.

**2. Обоснование норм и требований,  
включенных в "Руководство"**

Настоящий РМ разработан на основании натурных исследований горизонтальных нагрузок навала паромов при швартовке к причальным сооружениям, выполненных Каспморнипроектом в 1971-75 гг./2-6/. Расчеты этих нагрузок регламентируются СНиП II-57-75 "Нагрузки и воздействия на гидротехнические сооружения (волновые, ледовые и от судов)", в развитие которого в части воздействия паромов на причальные сооружения выпускается настоящее "Руководство".

Ниже приводится обоснование рекомендаций, включенных в "Руководство", по пунктам.

П.п. I.1 и I.2. Обоснования не требуют.

П. I.3. Учитывая частоту подходов парома (более высокую, чем у обычных судов), их маневрирование у причалов с более высокими (по сравнению с обычными судами) скоростями и сложность конструкции отбойных устройств паромных причалов (для расчета которых основными являются горизонтальные нагрузки от паромов) целесообразно, чтобы удар парома (как "горизонтальная нагрузка на причальное сооружение при швартовке к нему парома" и одна "из возможных кратковременных нагрузок, которая в сочетании с постоянными и временными длительно действующими нагрузками создает наиболее неблагоприятные условия работы" паромного причала согласно п.4.7 СНиП II-51-74) был при расчетах отнесен в состав основных сочета-

ний нагрузок.

**П. I.4-I.6.** В этих пунктах вводится терминология, используемая в рекомендациях "Руководства".

**П. 2.1.** Взаимодействие судна с причалом по /7/ рассматривают с энергетической точки зрения, сводя действие всех сил при этом к кинетической энергии судна, что применено и здесь.

**П. 2.2.** Швартовка парома к причальным сооружениям в отличие от швартовки других судов по времени происходит в 2 этапа:

- на I этапе осуществляется подход парома непосредственно к кордону;
- на II этапе, двигаясь почти параллельно кордону, паром заходит в ложе (для накладки на корму пролетных строений подъемно-переходного моста).

**П. 2.3.** Если на I этапе осуществляется типичный "подход под углом", предусмотренный действующими нормами /7/, то на II этапе происходит несколько видоизмененный навал парома на сооружения ложа, расположенные перпендикулярно направлению его движения, что в /7/ не регламентировано. Поэтому скорости захода парома в ложе рекомендуются здесь на основании опыта проектирования и натурных исследований Каспморниипроекта /3/.

Коэффициент  $U$  для "пирсов эстакадного или мостового типа" и для "захода в ложе" принят на основе натурных исследований Каспморниипроекта /3/, проведенных в 1971÷75 гг. на Бакинском

паромном пирсе переправы Баку-Красноводск. Этот пирс представляет собой сквозную конструкцию на ж/б сваях сечением 45x45 см. Для остальных случаев коэффициент  $\gamma$  взят по интерполяции с данными, рекомендуемыми нормами /7/. Однако при этом требуется его уточнение, связанное с натурными исследованиями на причальных сооружениях типа сплошной стены и набережных эстакадного (или мостового) типа, набережных на свайных опорах с задним шпунтом. Паромные причалы таких конструкций в настоящее время имеются в портах Актау, Волгограде и Холмск. После проведения указанных выше исследований на этих причалах, которое планирует Каспморнипроект в ближайшие годы, коэффициент  $\gamma$  будет в достаточной степени обоснован для всех конструктивных типов паромных причалов.

П. 2.4. Величина  $E_K$ , вычисленная по пункту 2.3, представляет ту часть кинетической энергии судна, которая должна быть поглощена причальным сооружением и частично корпусом судна за счет потенциальной энергии деформации соединений единой комплексной связи. Деформируемость и соответственно энергоемкость единой комплексной связи зависят от того, какие, сколько и каким образом в ней сочетаются соединения.

П. 2.5. Пункт дает ответ на вопрос: какие линейноподатчики соединения входят в состав единой комплексной связи?

П. 2.6. Пункт характеризует, какие нелинейноподатчики соединения сочетаются в единой комплексной связи.

Обычно технические характеристики применяемых в практике нелгнейноподатливых соединений (резиновые элементы) заают в виде графической зависимости

$$Q = f(\delta).$$

Специфические конструктивные особенности паромов, однако, не позволяют вести расчеты горизонтальных нагрузок от них на причалы, а также отбойных устройств сложной конструкции, какими являются охранные рамы этих причалов. Этой отличительной особенностью паромов в сравнении с прочими судами является наличие привального бруса, расположенного в уровне вагонной палубы. Назначение этого бруса – передача горизонтальных нагрузок, возникающих в момент взаимодействия с причальными сооружениями, которые, концентрируясь от вагонной нагрузки в уровне палубы, не могут быть равномерно распределены на конструкцию бортов, как это имеет место для других судов. Следовательно, привальный брус паромов является элементом, как бы "фиксирующим" горизонтальную нагрузку для передачи ее причальному сооружению. Поскольку такая фокусировка больших нагрузок вызывает необходимость их распределения по высоте причальной стени, последняя для паромных причалов оборудуется специальными отбойными устройствами – охранной рамой.

Значительный разброс в загрузке вагонов подвижного состава, перегружаемого на паром, является причиной того, что привальный брус в каждом рейсе меняет свое положение. Амплитуда колебаний

призального бруса с учетом того, что паром должен иметь возможность подхода к причалу и порожнем, достигает, таким образом, довольно значительных величин, вызывая устройство охранной рамы, существенно развитой в высоту. Кроме того, охранная рама должна иметь достаточно энергоемкие амортизаторы, располагающиеся более или менее равномерно по всей своей высоте. Такими амортизаторами могут служить на достигнутом техническом уровне резиновые элементы различных сечений. Как показал опыт проектирования, расчет охранных рам и горизонтальных нагрузок методом, указанным в /7/, невозможен. Для достижения цели приемлемым оказался метод аппроксимации графической технической характеристики резиновых элементов, как нелинейноподатливых, функциональной зависимостью (3).

На основании того, что:

- на графике площадь, ограниченная кривой технической характеристики элемента, осью  $\delta$  и ординатой  $Q = f(\delta_{max})$ , численно равна площади, ограниченной кривой (3), осью  $\delta$  и ординатой  $Q_o = K_p \delta_{pmax}^n$  (рис.4);
- эти площади численно равны энергоемкости соответствующего элемента;
- с целью оптимального использования энергоемкости элемента в наиболее неблагоприятных случаях швартовки судна к причалу его (элемента) деформация в пределах заданной точности должна составлять величину  $\delta_{max}$ , можно считать в пределах запасной

I - Прямоугольный резиновый элемент

высотой  $H=600\text{мм}$ , длиной  $L=2500\text{мм}$ ;

II - Прямоугольный резиновый элемент

высотой  $H=600\text{мм}$ , длиной  $L=2000\text{мм}$ ;

III - Прямоугольный резиновый элемент

высотой  $H=600\text{мм}$ , длиной  $L=1500\text{мм}$

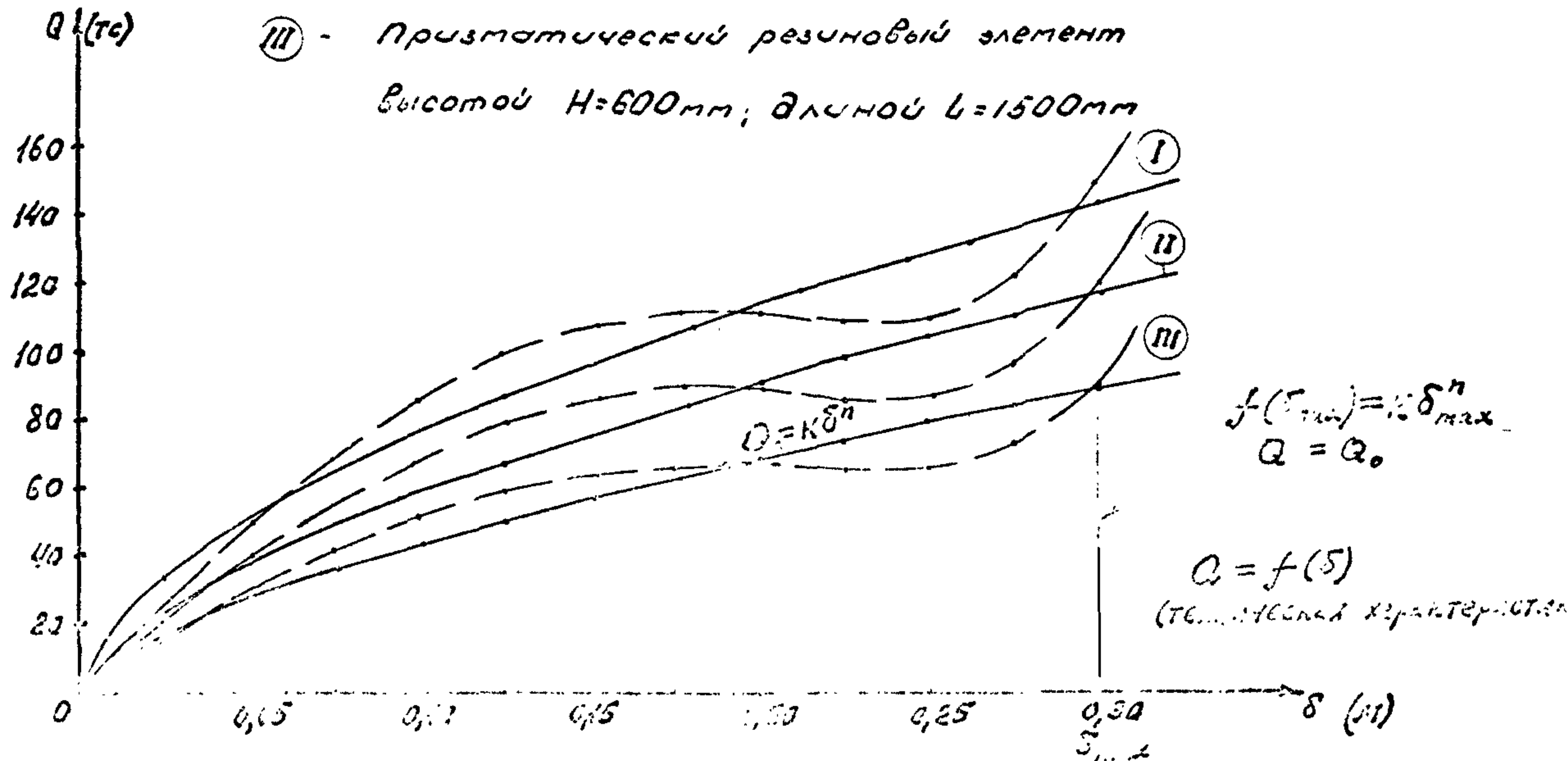


Рис. N:

11011

43

нормами точности определения кинетической энергии суща на подходе к причалу рекомендуемое применение функциональных зависимостей вида (3) для описания работы нелинейноподатливых соединений полностью оправданным. Необходимо здесь также отметить, что резиновые трубы применяются в отбойных устройствах в комплексе с цепями, с помощью которых они навешиваются на конструкции причалов или их элементов. В связи с этим их техническая характеристика больше приближается к функциональному виду типа (3), нежели к графической зависимости  $H_x = f(\Delta)$ .

Границы применимости параметров  $\kappa_p, \mu, \delta_{max}$  и  $\gamma/c$  учитываются пунктами 2.17 и 2.18 настоящего РТМ. Величина  $\gamma/c$  ( $C_p$  в I редакции) является величиной постоянной, поскольку связывает величины нагрузки и соответствующей ей деформации резинового элемента, сжатого до предела  $\delta_{max}$ .

Применение зависимости (3) не исключает, а предполагает возможность использования в отбойных устройствах паровых причалов, кроме цилиндров и "трапеций", и других типов нелинейноподатливых и линейноподатливых соединений (см. пример расчета I.2). В частности, для линейноподатливых соединений в (3) коэффициент  $\mu$  принимается равным 1. Для соединений, для которых нагрузка не зависит от деформации (например, для пневматических отбойных устройств), этот коэффициент должен быть принят равным 0.

Для других нелинейкоподатливых соединений зависимость видя (3) может быть всегда с большей или меньшей точностью подобрана, поскольку что, как правило, графики технических характеристик таких соединений проходят через начало координат.

П. 2.7. Для парома соединениями являются бортовой набор и резиновый привальный брус, а сочетание их – последовательное. Для авторизационного устройства (рис.3) ложа парома соединениями будут деревянный щит, металлическая рама из сваренных шпунтин и комплект пружинных амортизаторов и сочетание их – последовательное. В свою очередь, деревянный щит будет представлять собой параллельное сочетание некоторого количества других соединений – деревянных брусьев; металлическая рама – параллельное сочетание сваренных шпунтин; комплект пружинных амортизаторов – параллельное сочетание отдельных пружинных амортизаторов.

Сложнее обстоит дело с определением количества соединений и характера их сочетания для причального сооружения.

Однако основные из них могут быть установлены с достаточной точностью.

Для причальных сооружений типа тонкой стенки соединениями являются сама тонкая стенка из какого-либо (ж/б или металлического) шпунта с засыпкой и оголовок, а сочетание их параллельное. Параллельным сочетанием может считаться здесь работа тонкой стенки в двух направлениях: вертикальном и горизонтальном; работа

стенки в одном направлении представляет собой соединение.

Для сквозных причальных сооружений соединениями можно считать свайные козлы, отдельные сваи, верхнее строение, а сочетание их будет параллельным. Параллельное сочетание будет представлять собой и свайный козел, соединениями которого являются:

- 1) упруго-оседающие в грунте
- и 2) упругодеформирующиеся по длине -- сваи.

Для других типов причальных сооружений могут при соответствующем анализе с требуемой степенью детализации быть также определены как соединения, так и их сочетания.

Таким образом, каждое соединение на рис. Iа) может представлять собой параллельное сочетание некоторого количества других соединений, а каждое соединение параллельного сочетания рис. Iб) может состоять из определенного количества последовательно сочетающихся других соединений. В каждом случае количество соединений и характер их сочетания может быть установлен, исходя из конструкций корпуса судна, причального сооружения и отбойных устройств.

П.п. 2.8 и 2.9. Пояснения не требуют.

П. 2.10. См. пояснения к п.2.7.

П.п. 2.II-2.I3. Рекомендации пункта получены на основе простых математических соотношений между нагрузками и деформациями каждого из соединений и их сочетания в единой комплексной связи /8, II/.

П. 2.14. Пояснения не требует.

П. 2.15. Величина деформации в I приближении  $\Delta_{max}$  вычисляется здесь на основании того, что вся величина энергии  $E_n$  поглощается только нелинейнодатливыми соединениями /9/.

П. 2.16. Рекомендации этого пункта основаны на том, что все нелинейнодатливые соединения могут сжиматься до предела  $\delta_{max}$ , после чего они приобретают постоянный коэффициент жесткости  $\kappa$  /9/.

П. 2.17. В формулах пункта учитывается работа нелинейнодатливых соединений лишь в диапазоне их возможных деформаций:

$$0 \leq \Delta \leq \delta_{max}.$$

При этом учитывается указание п.5.9 из /7/: "при  $E_1 \geq 10E_2$  величину  $E_2$  допускается не учитывать". /9, 10/.

П. 2.18. В формулах пункта учитывается работа нелинейнодатливых соединений не только в диапазоне возможных деформаций, но и за его пределами:

$$\Delta > \delta_{max}.$$

В формулы вводится коэффициент жесткости  $\kappa$  нелинейнодатливых соединений, как постоянная величина (см. пояснения к п.2.6).

Таблица 3 составлена на основании исследований Касиморгипроекта /2, 9/.

П. 2.19. Рекомендации пункта основаны на математических соотношениях между нагрузкой, усилиями в отдельных соединениях и эксцентрикитетом приложения нагрузки /12/.

П. 2.20. Как показали исследования Каспморниiproекта /12/, перегрузка причального сооружения нагрузками от судов может произойти не только при недостатке, но и при излишке резиновых элементов в отбойных устройствах. У таких элементов жесткость увеличивается с увеличением их деформации и становится одного порядка с жесткостью самого сооружения при достижении или предельной величины деформации  $\delta_{max}$ , т.е., при этом они практически перестают деформироваться. При недостатке их в отбойных устройствах избыточная (сверх той, которая поглотилась сжатыми до предела  $\delta_{max}$  резиновыми элементами) энергия судна будет поглощаться за счет перегрузки своего корпуса и причального сооружения. При излишке резиновых элементов причальное сооружение и корпус судна будут даже в начальный период более податливы, чем отбойные устройства, а, следовательно, они также будут испытывать перегрузки.

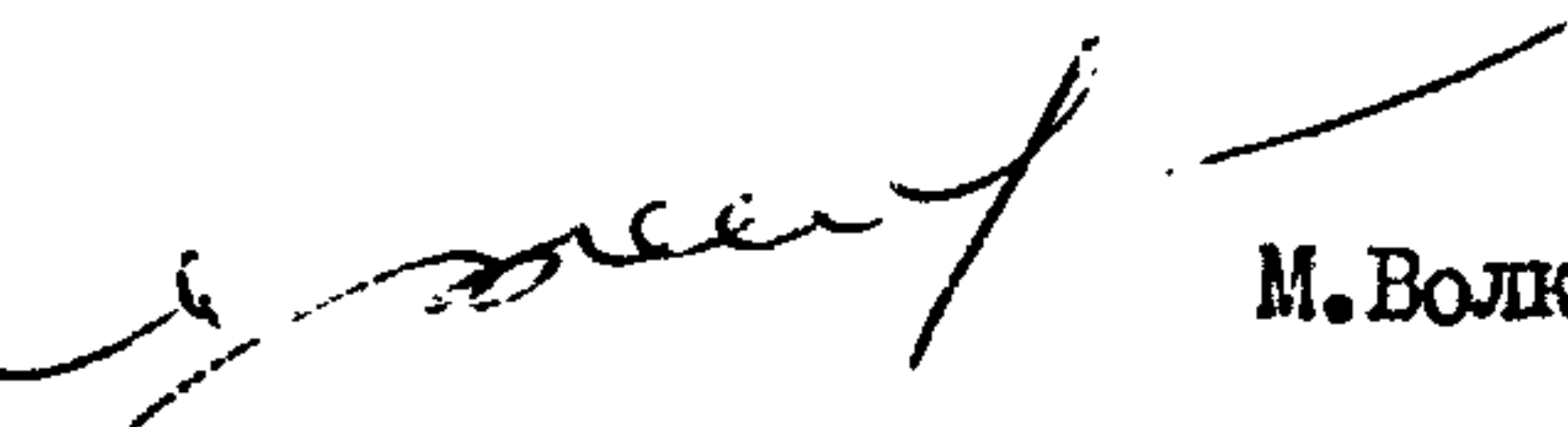
Оптимальное количество нелинейноподатливых соединений базируется на основе критерия оптимизации: "Тем надежнее и экономичнее причальное сооружение (и вместе с ним и само судно) будет защищено от горизонтальных нагрузок от судов, чем меньше будет в его отбойных устройствах резиновых элементов, деформация которых в наихудших условиях швартовки (при максимально возможной величине кинетической энергии судна на подходе) не превысит предельную  $\delta_{max}$ " /12/.

П.п. 2.21 и 2.22. См. пояснения к п.2.6.

3. План мероприятий, необходимых  
для внедрения РТМ

План внедрения настоящего РТМ направлен Союзморниипроекту  
при нашем письме за № 496 от 24 февраля 1976 года.

Руководитель темы,

  
М.Волков

Ответственный исполнитель



В.Пискарев

Литература:

1. РТМ ЗI.3 -76. Руководство по определению горизонтальных нагрузок на сквозные причальные сооружения при швартовке к ним паромов. Арх. № 9740, Каспморниипроект, Баку, 1976.
2. Отчет по теме НИР: "Натурные исследования горизонтальных нагрузок от навала паромов при швартовке к причальным сооружениям". Ленморниипроект, 1971.
3. То же, Каспморниипроект, 1972.
4. То же, 1973.
5. То же, 1974.
6. То же, 1975.
7. СНиП II-57-75. Нагрузки и воздействия на гидротехнические сооружения (волновые, ледовые и от судов).
8. Инж. Пискарев В.П. Исследование нагрузок от подхода судов на причальные сооружения, оборудованные резиновыми отбойными устройствами, с помощью эмпирических зависимостей. Каспморниипроект, Баку, 1970.
9. Инж. В.П.Пискарев. Практический метод расчета амортизирующих резиновых элементов отбойных приспособлений. В кн. Труды Союзморниипроекта № 33 (39), М., 1972.
10. Инженеры М.В.Волков и В.П.Пискарев. Некоторые теоретические вопросы взаимодействия судна с причалом в период швартовки. В кн. Труды Союзморниипроекта № 36 (42), М., 1974.

II. В.П. Пискарев. Распределение горизонтальной нагрузки на палубу судов на причальные сооружения, оборудованные резиновыми отбойными устройствами. В кн.: Тезисы докладов четвертой конференции молодых научных работников. Май-июнь 1972 г., М., 1972.

12. Инж. Пискарев В.П. Исследование работы нелинейно деформирующихся отбойных устройств в период взаимодействия судна с причалом (на примере паромов). Диссертация на соискание ученой степени кандидата технических наук. Баку, 1976.

## Сводка

заключений по проекту "Руководства по определению горизонтальных нагрузок на причальные сооружения при извертывке к ним паромов"  
 (РТМ 31.3. -77)

№ п/п	Название п.п. проекта	Замечания и предложения	Принято или отклонено (с указанием мотивов отклонения)	
1	2	3	4	5
I	Общие замечания	<p>Черноморний-проект</p> <p>Поскольку "Руководство" выпускается в ранге РТМ, Принято содержание, размещение материала и оформление документа должны полностью соответствовать требованиям СП II2-СО2-74 Согзморниипроекта, регламентирующего издание подобных документов.</p> <p>В рассмотренной редакции документа имеются следующие отклонения от рекомендуемой формы РТМ:</p> <ul style="list-style-type: none"> <li>а) отсутствует титульный лист и его оборотная сторона (п.2.3 СП II2-002-74);</li> <li>б) в вводной части документа не указаны четко сфера действия, область распространения и обязательность его применения (п.2.4 СП);</li> <li>в) нет перечня заимствованных и использованных нормативно-технических документов (п.2.2 СП);</li> <li>г) пояснительная записка изложена излишне лаконично в части обоснования норм и требований, включенных в РТМ (п.2.9 СП);</li> <li>д) нумерация страниц текста следует обозначать, например, "стр.5", а не "лист 5".</li> </ul>	5	2

1	2	3	4	5
2	Общие замечания	Черноморский проект	<p>Ввиду того, что "Руководство", в соответствии с назначением РТМ, призвано развивать и дополнять действующие общесоюзные нормы и правила, в частности, СНиП II-57-75 и Руководство КМСУ, основные положения, техническую терминологию и обозначения используемых величин необходимо привести в соответствие с этими документами высших рангов. В частности, в рассмотренном "Руководстве" обозначены: горизонтальная нормальная нагрузка на причал - символом <math>Q</math>, продольная - <math>\tau_y</math>, водоизмещение судна - <math>W</math>, деформация - <math>\delta</math> и т.д. В СНиП II-57-75 эти же величины имеют обозначения, соответственно: <math>\kappa_x</math>, <math>\kappa_y</math>, <math>\vartheta_c</math>, <math>\Delta</math> и т.д. Указанное несоответствие следует устранить во избежание дезориентации и путаницы при практическом использовании документа.</p>	Принято
3	--"	--"	<p>Основные положения "Руководства" в части "Рекомендаций по расчетам" и "Примеров расчета" изложены излишне скато в предположении о наличии глубокой компетенции у будущих потребителей РТМ по рассматриваемому вопросу. В то же время, если документ предполагается использовать не только в Каспийском проекте, но и в других проектных организациях, не имеющих достаточного опыта проектирования подобных сооружений, основные позиции "Руководства" следует обосновать более подробно, иллюстрируя их применение графическими материалами.</p>	Принято
4	Назначение РТМ	Черноморский проект	<p>Нет необходимости сужать рамки РТМ расчетом на грузок на сквозные причальные сооружения, т.к. конструкция причала может оказаться и не сквозной. Более того, в приложении к РТМ авто-</p>	Принято

1

2

3

4

5

рами рассматривается (стр. II) сооружение в виде заанкерованной тонкой стены с каменной засыпкой, которое не может классифицироваться как сквозное.

Целесообразно поэтапу распространить действие РТМ на разные типы морских причалов и внести необходимые коррекции в схему расчета, которые коснутся в основном значений коэффициента  $K$  в формуле (3), учитывающего, наряду с прочими, факторами процесса гвартовки, тип причала.

5	П. I.1	Ленморний-проект	Дополнить словами "и автомобильных", так как, Принято по-видимому, разницы не будет.	
6	—"	—"	Дополнить пункт примечанием о расчете конструкций с вертикальной стенкой временно по настоящему РТМ.	Отклонено. См. п.4 сводки. <span style="float: right;">сп 4</span>
7	П. I.3	—"	Разделить нагрузки – при подходе к причалу – в особые сочетания при заходе в ложе – в основные сочетания	Отклонено. Т.к. для отбойных устройств паромных причалов, имеющих довольно сложную конструкцию и подлежащих тщательному расчету существенной сложности, нагрузки от судов являются определяющими. См. также пояснения к п. 7.2 и 7.3. Нагрузка при заходе в ложе должна определяться в соответствии с нормами п. 7.2.

1	2	3	4	5
8	П. I.6	Ленморний-проект	Дать характеристики упругоподатливых и неупруго-податливых соединений и указать, какие соединения относятся к каждой из групп.	Принято
9.	П. 2.2	Черноморний-проект	Необходимо изменить обозначения параметров формулы (I) в соответствии со СНиП II-57-75. П. 2.2 без ущерба для смысла можно объединить с п.2.5, совместив формулы (I) и (3) в одном выражении.	Принято
10.	"-	Ленморний-проект	Формулу (I) заменить формулой (106) СНиП II-57-75	Принято
II.	П. 2.3	Черноморний-проект	<p>В пункте нет критерия понятия "зашщищенности" акватории при определении расчетных скоростей подхода судна-парома. Деление акваторий морских портов поэтому признаку упразднено и в тексте нового СНиП II-57-75, что обосновано соответствующими материалами в пояснительной записке к нему.</p> <p>Учитывая, кроме того, обстоятельство, что паромные причалы должны располагаться на особо спокойных акваториях в отношении воздействия гидрометфакторов, считаем целесообразным исключить из табл. I РТМ строку "зашщищенная акватория" или обосновать необходимость и условия ее применения. Строку "зашщищенная акватория", данные которой незначительно отличаются от данных таблицы 22 СНиП II-57-75, можно принять прямо из указанного СНиПа.</p> <p>Расчетные скорости подхода судов к ложу парома, особенно для судов водоизмещением 20000 т и более (<math>V_n = 0,40 \text{ м/сек}</math>), представляются слишком высокими и нереальными для расчетов, т.к. приводят к столь большим значениям энергии и нагрузок от навала судов, что обеспечение их реализаций</p>	Принято сп 51

вряд ли возможно на со временном техническом уровне. Примером тому служит проект комплекса сооружений переправы Ильинцевск-Барна, при разработке которого Каспморпроектом была принята в качестве расчетной скорость подхода судна к ложу причала  $V_n = 0,20$  м/сек, а не  $V_n = 0,40$  м/сек, согласно табл. I РТМ.

I2	П. 2.3	Ленморний-проект	В таблице I п.п.1 и 2 противоречат таблице 22 СНиП П-57-75. Нужно дать ту же таблицу, дополнив ее пунктом 3, что не учтено СНиПом.	Принято
I3	П. 2.4	-"-	Исключить. Коэффициент 0,9 ввести в состав коэффициента $K$ , уменьшив его значение для случая захода парома в ложе до 1,2.	Принято
I4	-"-	-"-	Коэффициенты $K$ для подхода парома к причалу должны быть сохранены по СНиП без всякого уменьшения.	Принято
I5	П. 2.5	Черноморний-проект	Значение коэффициента $K$ в (3) для случая навала парома на ложе следует дополнить величинами, учитывающими, кроссы сквозного, и другие типы конструкций причальных сооружений. Объединить с п.2.2	Принято
I6	П. 2.7	-"-	Здесь и далее в РТМ лучше использовать понятие коэффициента жесткости ( $1/C_i$ ), а не коэффициента упругой податливости $C_i$ . Такая замена будет соответствовать обозначению этой характеристики в других нормативах по расчетам строительных конструкций, в частности, СНиП П-57-75. Следует дать также определение понятий "упругоподатливые и неупругоподатливые соединения".	Принято

1	2	3	4	5
---	---	---	---	---

- 17 П. 2.8 Черноморний-  
проект Предлагаемая авторами аппроксимация характеристи-  
ки резинового цилиндра типа Я400 длиной 2,0 м  
с помощью зависимости  $Q_p = 8034 \delta^{3,15}$ , согласно  
рис. 3 бр. № 8830, удовлетворительно согласуется  
с экспериментальной кривой только в диапазоне из-  
менений  $\delta$  от 0,17 м до 0,19 м. На всех других  
участках характеристики будет иметь место большее  
или меньшее значение рассчитанных нагрузок по  
сравнению со снятыми с фактической характеристикой  
амортизатора.
- Указанные соображения справедливы также и в отно-  
шении коэффициента  $C_p$  в таблице 2 РТМ, величина  
которого входит как постоянный коэффициент в фор-  
мулы (26) и (27), не являясь по сути таковой.
- Поэтому необходимо снабдить таблицу 2 примечанием,  
где оговорить границы применимости значений па-  
раметров  $k_p$ ;  $n$ ;  $\delta_{max}$  и  $C_p$  для приведенных цилин-  
дрических и трапециoidalных резиновых амортизато-  
ров.
- Кроме того, содержание п.2.8 как бы исключает воз-  
можность применения для оборудования причала па-  
ромной переправы, крсие цилиндров и трапеций, дру-  
гих типов отбойных устройств, характеристики кото-  
рых могут не соответствовать формуле (5), а коэф-  
фициенты – таблице 2. Это обстоятельство тоже  
должно найти отражение в РТМ в виде конкретного  
или общего указания о действиях проектировщика,  
если для оборудования причала предполагается ис-  
пользовать отбойные устройства, отличные от приве-  
денных в таблице 2.
- Трудности аналитического метода выделения харак-  
теристик резиновых отбойных устройств общеизвест-  
ны. Теоретически можно достичь сколь угодно близ-  
кого совпадения экспериментальной и аппрокси-

мирующей функции с заданной точностью, применяя для этой цели разложение в степенной ряд с удержанием нескольких членов разложения, а не только одного из них, как это сделано в РТМ. Однако попытки дальнейшего применения такого выражения в практических расчетах завершаются обычно неудачно, т.к. приводят к чрезвычайно усложнению расчетных зависимостей.

Поэтому логично, на наш взгляд, было бы рассмотреть возможность применения к расчету нагрузок на паромные причалы гравитационного метода, рекомендованного СНиП II-57-75 для других типов причальных сооружений. Применение этого метода, естественно, с учетом специфики эксплуатации паромных причалов (скорости, коэффициенты, особые конструкции отбойных устройств и др.) позволит избежать трудностей и погрешностей аппроксимации характеристик амортизаторов. А собственно процесс расчета нагрузок на причал при этом значительно упростится, и может быть выполнен не менее, а, может, и более точно, если принять допущения авторов РТМ о равномерной деформации резиновых элементов и центральном приложении нагрузки к распределительному щиту, как это следует из формул (6), (7), (17) и (18) РТМ.

ст  
св

18. П. 2.8	Ленморний-проект	Формула (5) и таблица 2 абсолютно неправильны. Они дают кривую типа кубической параболы, что противоречит испытаниям образцов. В этом случае целесообразнее пользоваться характеристиками резины.	Отклонено. См. п. I7 сводки
19 П.п. 2.9- -2.12	Черноморний-проект	Содержание пунктов желательно дополнить схемой, иллюстрирующей возможные сочетания соединений.	Принято

1	2	3	4	5
20	П.п.2.10, 2.11	Ленморний- проект	Замечания те же, что и к п.2.8	Отклонено. См.п.18 сводки
21	П. 2.14	Черноморний- проект	<p>В формуле (12), по-видимому, допущена ошибка.            В приведенном виде она нефизична, т.к. в случае,            когда <math>\ell \rightarrow 0</math> и <math>\beta \rightarrow 0</math>, <math>\kappa \rightarrow \infty</math> и, следовательно,  <math>Q \rightarrow \infty</math>.</p> <p>По нашему мнению, зависимость (12) следует за-            писать в виде:</p> $\kappa = \frac{\beta \kappa_p}{z^n}.$	Отклонено. В случае $\ell \rightarrow 0$ , резиновые эле- менты вообще вы- падают из рас- четной схемы. Формула в РТМ написана верно.
22	П. 2.14	-"-	В текстовом пояснении к формуле (14) пропущены буквы $\ell$ и $\omega$ .	Принято.
23	-"-	Ленморний- проект	Смотри замечание к п.2.8	Отклонено. См. п.18 сводки
24	-"-	-"-	К формуле (14) – текст непонятен	Принято
25	П. 2.18	Черноморний- проект	<p>Желательно конкретизировать понятие "необходимая            точность" итераций при решении уравнения (24):            вычисления необходимо продолжать, пока</p> $\Delta_{i+1} = \Delta_i (1 \pm \varepsilon),$ <p>где <math>\varepsilon</math> – следует задать.</p>	Принято
26	П. 2.20	-"-	Величина угла подвода парома к причалу в расчет- ных зависимостях РТМ не используется. Пункт сле- дует исключить из текста РТМ или применять в рас- четах.	Принято. Пункт исключен из текста РТМ.
27	-"-	Ленморний- проект	Нет обоснования величины угла подвода. Ранее в нормах принималось $30^\circ$ – лагом и $200^\circ$ – под углом.	Пункт исключен из текста РТМ.

1	2	3	4	5
28	П. 2.22	Черноморний-проект	Формулировка пункта неудачна, т.к. сравнивает величины с разной размерностью: величина силы и давления, т.е. силы на единицу площади. Кроме того, допустимые нагрузки на корпус или, вернее, на привальный брус парсма следует оценить количественно и использовать эту характеристику в расчетах.	В новой редакции этот пункт из текста РТМ исключен.
29	П. 2.23	Черноморний-проект	Необходимо изменить обозначения параметров формулы (28) в соответствии со СНиП П-57-75.	- " -
30	П. 2.23	Ленморний-проект	Противоречит СНиП.	В новой редакции пункт из текста РТМ исключен.
31	Примеры расчетов. Общие замечания	Черноморний-проект	Примеры расчета составлены не совсем удачно. Их основное назначение – углубить понимание основных положений РТМ и продемонстрировать их практическое применение. По этим соображениям совершенно недопустимо вводить в примеры новые формулы, не приведенные в основном тексте РТМ, и новые методы расчета, например, расчет деформации резиновых элементов по треугольной эпюре, необходимость которого не следует из раздела 2 РТМ и даже противоречит указаниям п.2.21.	Принято частично. В новой редакции РТМ формулы, приведенные в примерах расчета, введены в его текст. П.2.21 при этом исключен. <span style="float: right;">○</span>
32	То же, п.1	-"-	Условия примеров желательно сопроводить иллюстрациями.	Принято
33	То же, п.2	-"-	Если даются отметки привального бруса судна, то необходимо дать и отметки расположения охранной рамы, использовать эти данные в расчете, либо исключить их из текста примеров.	Принято

1	2	3	4	5
34	То же, п.3	ЧерноморНИИ- проект	В п.5 примера I пропущен индекс упругой по- датливости резиновых элементов ( $C_3$ ?).	Отклонено. Поскольку величина переменная, она в рас- четах по РГМ не ис- пользуется и поэтому не нужна.
35	То же, п.4	-"-	В п.6 не ясно, что есть "коэффициент упругой податливости за пределами нелинейности графи- ка зависимости нагрузки от деформации, т.к. составлено график в тексте РГМ не приводится.	Принято. Такой термин в новой ре- дакции отсутствует.
36	То же, п.5	-"-	П.7. Не удачно выражение "резка труб излиш- няя".	Отклонено. В РГМ при- менено выражение: <u>"разрезка труб излиш- ия"</u> .
37	Примеры расчетов п.5	-"-	Необходимо пояснить смысл и порядок расчета "для треугольной эпоры деформаций распреде- ляемого щита" в п.7.	Принято.
38.	То же п.6	-"-	П.8. Необходимо пояснить буквенные обозначе- ния в предлагаемой зависимости: $m = \beta M_{min}$ . В ней, кроме того, применено обозначение " $m$ ", которое уже использовано в п.2.10 РГМ для чис- ла сочетаний упругоподатливых элементов.	Принято.
39	То же, табл.3	-"-	Таблицу 3 необходимо оформить согласно тре- бованиям ГОСТ И.5-63, не допускать произволь- ных сокращений ("Предлагаем", " $\Delta$ -ой") и исключить графу "Причечания", которая не ис- пользуется.	Принято.

5  
→

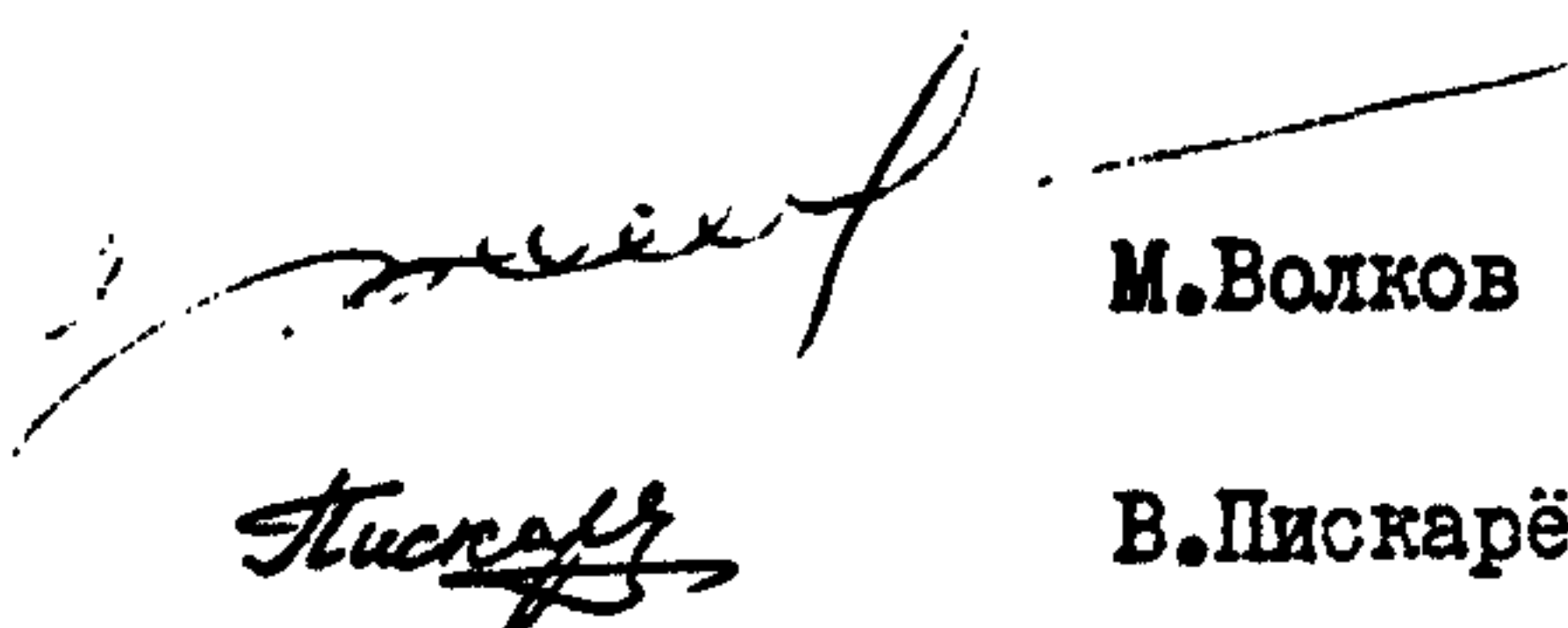
1	2	3	4	5
40	То же,	Черноморский- проект	В текстовом сопровождении к табл.3 выражение "более экономичнее" следует заменить словом "экономичнее" или выражением "более экономич- но".	Принято.
41	Пример 2	-"-	Остается в силе общие замечания по примерам в отношении введения новой формулы, не при- веденной ранее в основном тексте РГД, и в от- ношении необходимости пояснить символы во вновь вводимой формуле ( $C_N$ ? , $C_{оп}$ ? $N$ ?).	Принято.
42	-"-	-"-	Все буквенные обозначения, согласно действую- щим правилам, следует выписывать в формулу от руки, а не печатать на машинке ( $E$ , $c$ ).	Принято.
43	-"-	-"-	В пояснениях к табл.4 нельзя согласиться с утверждением авторов, что горизонтальная на- грузка на причал оказалась выше из-за "излиш- ней энергоемкости" блока амортизаторов, т.к. физическая причина возрастания нагрузки есть увеличение жесткости системы, пропорциональ- ное увеличение числа пружинных элементов, ее составляющих, что, впрочем, следует и из формулы (8) РГД.	Принято.
44	Общее заме- чание	Черноморский- проект	В процессе доработки проекта РГД целесооб- разно также использовать результаты проводи- мых в настоящее время Черноморским проектом модельных исследований процесса газификации крупнотоннажного парома для перевозки СССР- НРБ, которые дополняют собственные исследования Каспийского проекта в этом вопросе.	Отклонено. Допол- нения будут сделаны после окончания мо- дельных исследований, которые на момент со- ставления новой ре- дакции еще продол- гуются. Дополнения будут даны в виде приложе- ния 2 к РГД.

	1	2	3	4	5
45	Примеры расчетов	Лекции-проект	Как подсчитаны коэффициенты $C_1$ , $C_2$ и $C_4$ ?		<p>Коэффициенты <math>C_1</math>, <math>C_2</math> и <math>C_4</math> представляют собой перемещения элементов конструкций от единичных сил. Подсчет их производится методами сопротивления материалов, механики грунтов, строительной механики и не является целью настоящего РТМ.</p> <p>Если в РТМ привести подсчет этих коэффициентов, объем его значительно возрастет, что нежелательно.</p>
46	-"-	-"-	Нормы даны для сквозных конструкций, а пример для баллерка. Не ясно.		<p>Принято.</p> <p>В новой редакции действие РТМ распространено на все типы конструкций причальных сооружений.</p>

Руководитель темы

  
М. Волков

Ответственный исполнитель

  
В. Пискарёв